

26.26.5.03

TEORETICKÁ INFORMATIKA 2

Teorie Petriho sítě

Milan Češka

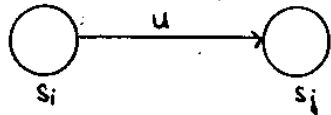
Doporučená literatura :

1. Peterson J.: Petri Net Theory and the Modelling of Systems, Prentice Hall, 1981
2. Reisig W.: Petri Nets - an Introduction, Springer-Verlag, 1985
3. Reisig W.: A primer in Petri net design, Springer-Verlag, 1992
4. Češka M. a kol.: Vyčísitelnost a složitost, skriptum VUT, 1992 (kap. 4 - Petriho sítě)
5. Češka M.: Petriho sítě, Akademičeské nakladatelství CERM, Brno 1994

1. Základní koncepty Petriho sítě

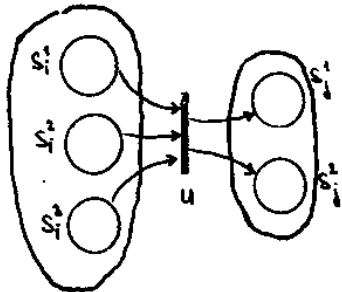
(a) modelování událostí

V konečném automatu:



$$s_j \in \delta(s_i, u)$$

V Petriho síti:



$$\{s_i^1, s_i^2, s_i^3\} \approx s_i$$

$$\{s_j^1, s_j^2\} \approx s_j$$

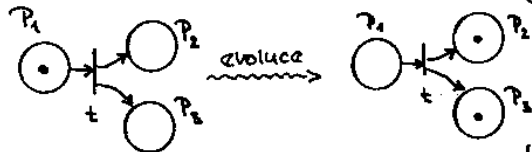
Složky Petriho sítě:

- místa (places) - kolečka
- přechody (transitions) - úsečky
- hrany

statická reprezentace systému

- značky (tokens) - černé tečky

reprezentace dynamiky (změn)



před provedením přechodu t

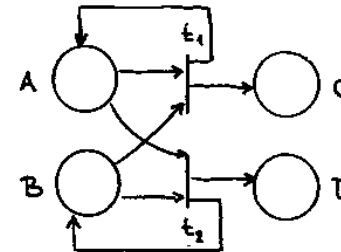
po provedení přechodu t

Příklad 1.

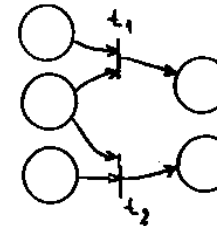
(b) modelování podmíněnosti

precondition : $A \wedge B$

postcondition : $(A \wedge \neg B \wedge C) \vee (\neg A \wedge B \wedge D)$



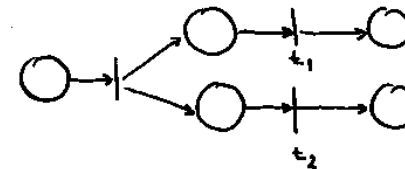
(c) modelování vzájemné vyloučenosti (mutual exclusion)



t_1, t_2 jsou vz. vyloučený

(konfliktní přechody)

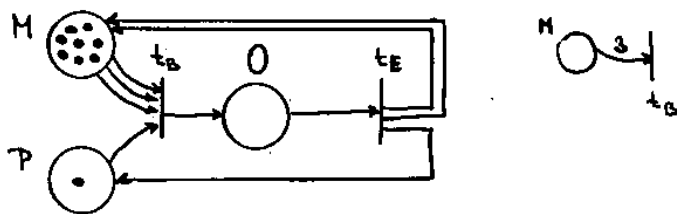
(c) modelování paralelnosti (simultánnosti)



t_1, t_2 jsou simultánní

(nezáv. přechody)

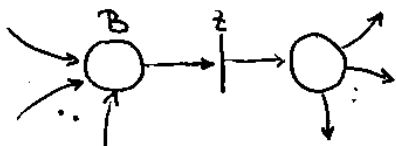
(d) modelování pořadavku na zdroje



Interpretace míst a přechodů

- M - počet volných pam. bloků
- P - procesor je volný
- O - operace probíhá
- t_B - začátek operace
- t_E - konec operace

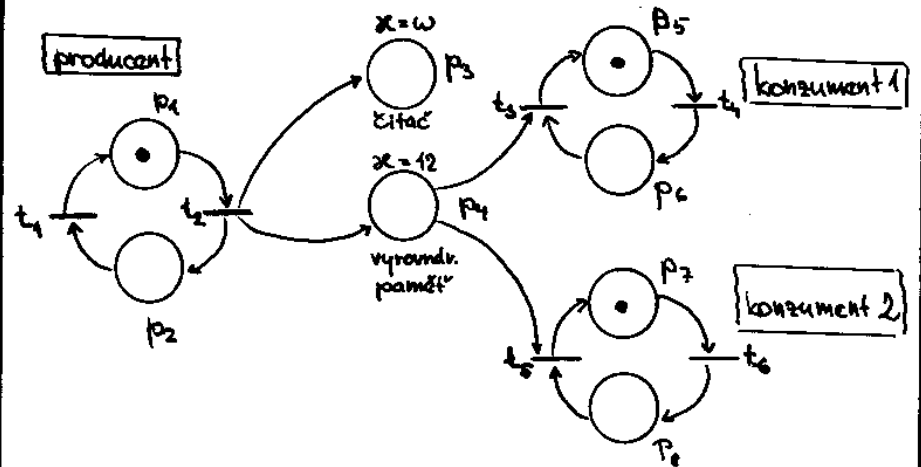
Pozn. Problém vyr. paměti (bufferů), front



- B - buffer
- Z - zpracováni položky

Nemůže dojít k přetečení B (bufferu, fronty)?

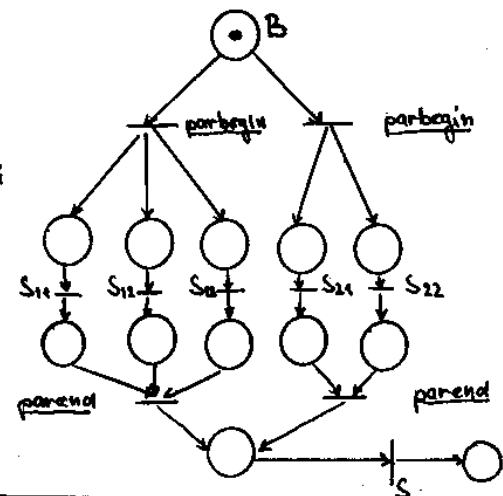
Příklad 2 (producent - konzument)



Příklad 3 (model úseku par. programu)

```

if B then parbegin S11;
                S12;
                S13;
           parend
else parbegin S21;
           S22;
           parend;
S1;
    
```



2. Základní matematické definice

Definice 2.1

Trojici $N = (P, T, F)$ nazveme sítí (net), jestliže

- (1) P a T jsou disjunktní množiny
- (2) F je binární relace:

$$F \subseteq (P \times T) \cup (T \times P)$$

P nazýváme množinou míst (Places)

T množinou přechodů (Transitions)

F tokovou relací (Flow relation)

Grafem sítě nazveme grafovou reprezentaci relace F .

Graf sítě je bipartitní orientovaný graf s množinou $P \cup T$ vrcholy.

Definice 2

Nechť $N = (P, T, F)$ je síť.

- (1) Pro všechny prvky $x \in P \cup T$

$\bullet x = \{y \mid yFx\}$ se nazývá vstupní množinou (pre-set) prvku x

$x^\bullet = \{y \mid xFy\}$ se nazývá výstupní množinou (post-set) prvku x

Podobně pro podmnožiny prvků: Nechť $X \subseteq P \cup T$, pak

$$\bullet X = \bigcup_{x \in X} \bullet x \quad \text{a} \quad X^\bullet = \bigcup_{x \in X} x^\bullet$$

zřejmě platí: $\forall x, y \in P \cup T: (x \in \bullet y \Leftrightarrow y \in X^\bullet)$

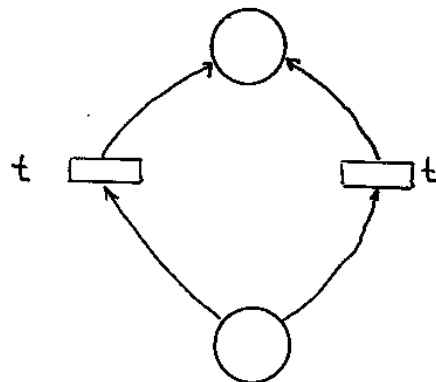
1. Základní pojmy

Definice 2a (jednoduchá síť)

Nechť $N = (P, T, F)$ je síť. N se nazývá jednoduchou sítí (simple net), jestliže

$$\forall x, y \in (P \cup T): (x = \bullet y \wedge x^\bullet = y^\bullet) \Rightarrow x = y$$

Příklad (nejednoduchá síť)



Definice 2b.

Nechť $N_1 = (P_1, T_1, F_1)$, $N_2 = (P_2, T_2, F_2)$ jsou sítě. Existuje-li bijekce $\beta: (P_1 \cup T_1) \rightarrow (P_2 \cup T_2)$ taková, že

$$(1) x \in P_1 \Leftrightarrow \beta(x) \in P_2$$

$$(2) (x, y) \in F_1 \Leftrightarrow (\beta(x), \beta(y)) \in F_2$$

pak N_1 a N_2 nazýváme izomorfní.

(2) Uspořádaná dvojice $\langle p, t \rangle \in P \times T$ se nazývá vlastní cyklus, pokud $p \neq t$ a $t \neq p$. Sít', která neobsahuje vlastní cyklus se nazývá čistou sítí (pure net).

(3) Prvek $x \in P \cup T$ se nazývá izolovaný, jestliže ${}^{\circ}x \cup x^{\circ} = \emptyset$

Definice 3

G-tici $N = (P, T, F, W, K, M_0)$ nazýváme P/T Petriho síť (Place / Transition Petri Net), jestliže

- (1) (P, T, F) je konečná síť
- (2) $W: F \rightarrow \mathbb{N} \setminus \{0\}$ je chodnocení hran grafu určující kladnou váhu každé hrany sítě
- (3) $K: P \rightarrow \mathbb{N} \cup \{\omega\}$ je zobrazení určující kapacitu každého místa
- (4) $M_0: P \rightarrow \mathbb{N} \cup \{\omega\}$ je počáteční značení míst Petriho sítě takové, že $M_0(p) \leq K(p)$ pro vš. $p \in P$.

pozn.:

- (1) \mathbb{N} je množina $\mathbb{N} = \{0, 1, 2, \dots\}$
- (2) ω značí supremum množiny \mathbb{N} s vlastnostmi
 - (a) $\forall n \in \mathbb{N}$ je $n < \omega$
 - (b) $\forall m \in \mathbb{N} \cup \{\omega\}$ je $m + \omega = \omega + m = \omega$
 $\omega - m = \omega$
- (3) Petriho síť budeme dále rozumět P/T Petriho síť

Definice 4 (Evoluční pravidla Petriho sítě)

Necht' $N = (P, T, F, W, K, M_0)$ je Petriho síť.

- (1) Zobrazení $M: P \rightarrow \mathbb{N} \cup \{\omega\}$ se nazývá značení P.sítě N (marking), jestliže $\forall p \in P: M(p) \leq K(p)$
- (2) Necht' M je značení Petriho sítě N .
Přechod $t \in T$ je proveditelný (enabled) při značení M , (stručněji M-proveditelný), jestliže

$$\begin{aligned} \forall p \in {}^{\circ}t &: M(p) \geq W(p, t) \\ \forall p \in t^{\circ} &: M(p) \leq K(p) - W(t, p) \end{aligned}$$

- (3) Je-li $t \in T$ M-proveditelný, pak jeho provedením získáme následné značení M' ke značení M , které je definováno takto:

$\forall p \in P:$

$$M'(p) = \begin{cases} M(p) - W(p, t), & \text{je-li } p \in {}^{\circ}t \setminus t^{\circ} \\ M(p) + W(t, p), & \text{je-li } p \in t^{\circ} \setminus {}^{\circ}t \\ M(p) - W(p, t) + W(t, p), & \text{je-li } p \in {}^{\circ}t \cap t^{\circ} \\ M(p) & \text{jinak} \end{cases}$$

Provedení přechodu t (transition firing) ze značení M do značení M' zapisujeme symbolicky:

$$M \xrightarrow{t} M'$$

(4) Označme $[M]$ nejmenší množinu různých značení Petriho sítě N , pro kterou platí

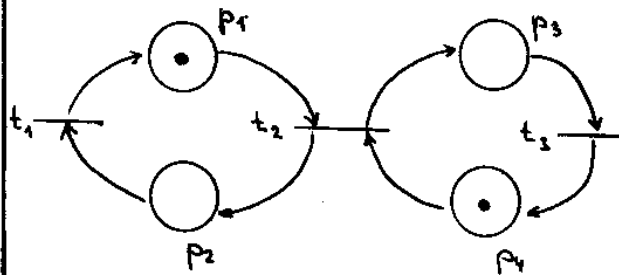
(a) $M \in [M]$

(b) je-li $M_1 \in [M]$ a pro nějaké $t \in T$ platí $M_1[t] M_2$, pak $M_2 \in [M]$.

Množina $[M]$ se nazývá množinou dosažitelných značení (reachability set) ze značení M . Množina $[M_0]$ se nazývá množinou dosažitelných značení sítě N .

Příklad 4

Uvažujme P. síť v grafové reprezentaci:



$[M_0] = \{M_0, M_1, M_2, M_3\}$, kde

$$M_0 = (1, 0, 0, 1)$$

$$M_1 = (0, 1, 1, 0)$$

$$M_2 = (1, 0, 1, 0)$$

$$M_3 = (0, 1, 0, 1)$$

5. Stavový prostor a přechodová funkce Petriho sítě

Množina $[M_0]$ reprezentuje stavový prostor P. sítě. Mohou nastat 2 případy:

$[M_0] < \begin{cases} \text{je konečná množina} \\ \text{je spočetná nekonečná množina} \end{cases}$

Definice 5

Nechť $N = (P, T, F, W, K, M_0)$ je Petriho síť a $[M_0]$ je množina dosažitelných značení. Přechodovou funkcí Petriho sítě N nazveme funkci δ :

$$\delta: [M_0] \times T \rightarrow [M_0] \text{ , pro kterou}$$

$$\forall t \in T: \forall M, M' \in [M_0]: \delta(M, t) = M' \stackrel{\text{def.}}{\Leftrightarrow} M[t] M'$$

Přechodová funkce δ může být zobecněna na posl. přechodů:

$$\delta: [M_0] \times T^* \rightarrow [M_0]$$

takto

$$\delta(M, \tau) = \delta(\delta(M, t), \tau), \tau \in T^*$$

$$\delta(M, \epsilon) = M$$

Každé $\tau \in T^+$ nazveme vdpočetní posloupností Petriho sítě, je-li $\delta(M_0, \tau)$ definována (+ případně další podmínky). Jazyk Petriho sítě = mn. vdpočetní posloupností

4. Komplementace Petriho sítě

Definice 6

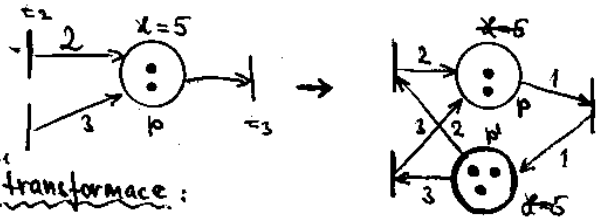
Petriho síť $N = (P, T, F, W, K, M_0)$ se nazývá bezkontaktní (contact free), jestliže pro všechna $M \in [M_0]$ a všechny $t \in T$ platí:

jestliže $\forall p \in {}^*t : M(p) \geq W(p,t)$ (t.j. t je M -proveditelný)
pak $\forall p \in t^* : M(p) \leq K(p) - W(t,p)$

Lemma 1

Každá P. síť může být převedena na bezkontaktní P. síť.

Důkaz: PS $N = (P, T, F, W, K, M_0)$ převedeme na bezkontaktní PS $N' = (P', T, F', K', W', M'_0)$ transformací kdy přidáme „komplementární místa“ a hrany např. takto:



Popis transformace:

- (1) $\forall p \in P$, pro která $K(p) \neq \omega$ vytvoří $p' \in P'$
- (2) $\forall \langle t, p \rangle, \langle p, t \rangle \in F$ vytvoří $\langle p', t \rangle, \langle t, p' \rangle \in F'$
- (3) Položí $M_0(p') = K(p) - M_0(p)$
- (4) Položí $W'(p', t) = W(t, p) \wedge W'(t, p') = W(p, t)$

Zřejmě platí: $\forall M \in [M_0]: M(p) + M(p') = K(p)$

5. Maticová reprezentace Petriho sítě

Definice:

Nechť $N = (P, T, F, W, M_0)$ je Petriho síť.

Tokovou nebo incidenční matici Petriho sítě N nazveme matici

$$E: P \times T \rightarrow \mathbb{N} \times \mathbb{N}$$

jejíž prvek $F(p,t)$ je pro vš $p \in P$ a $t \in T$ definován takto:

$$F(p,t) = \langle \bar{W}(p,t), \bar{W}(t,p) \rangle \text{ kde } \bar{W}(x,y) = \begin{cases} W(x,y) & \text{pro } \langle x,y \rangle \in F \\ 0 & \text{jinak} \end{cases}$$

Maticí změn Petriho sítě nazveme „složenou“ matici

$$N: P \times T \rightarrow \mathbb{Z}$$

jejíž prvek $N(p,t)$ je definován takto:

$$N(p,t) = \bar{W}(t,p) - \bar{W}(p,t)$$

Dále označme:

$$\forall t \in T: \underline{\varepsilon}: P \rightarrow \mathbb{Z}, \underline{\varepsilon}(p) = N(p,t)$$

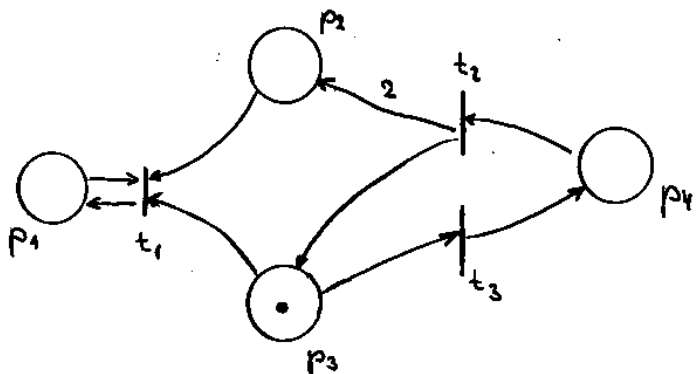
Pozn.:

angl. terminologie: flow matrix
change matrix

Maticе N se často jednoduše nazývá maticí Petriho sítě

Příklad

Vkresleme následující Petriho síť:



Toková matice

$$F = \begin{matrix} & t_1 & t_2 & t_3 \\ \begin{matrix} p_1 \\ p_2 \\ p_3 \\ p_4 \end{matrix} & \begin{bmatrix} (1,1) \\ (1,0) \\ (1,0) \\ (0,0) \end{bmatrix} & \begin{bmatrix} (0,0) \\ (0,2) \\ (0,1) \\ (1,0) \end{bmatrix} & \begin{bmatrix} (0,0) \\ (0,0) \\ (1,0) \\ (0,1) \end{bmatrix} \end{matrix}$$

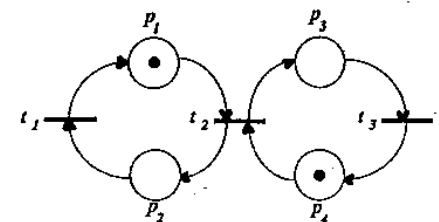
Matice změn

$$N = \begin{matrix} & t_1 & t_2 & t_3 \\ \begin{matrix} p_1 \\ p_2 \\ p_3 \\ p_4 \end{matrix} & \begin{bmatrix} 0 \\ -1 \\ -1 \\ 0 \end{bmatrix} & \begin{bmatrix} 0 \\ 2 \\ 1 \\ -1 \end{bmatrix} & \begin{bmatrix} 0 \\ 0 \\ -1 \\ 1 \end{bmatrix} \end{matrix}$$

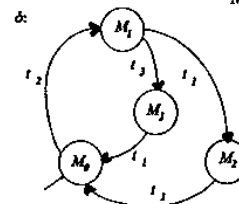
Např.: $\underline{t}_1 = (0, -1, -1, 0)$

Příklad 4.7.

Na obr. 4.12. je zobrazena Petriho síť N a její přechodová funkce δ ve tvaru diagramů přechodů.



$[M_0] = (M_0, M_1, M_2, M_3)$, kde $M_0 = (1,0,0,1)$
 $M_1 = (0,1,1,0)$
 $M_2 = (1,0,1,0)$
 $M_3 = (0,1,0,1)$



Obr. 4.12. Petriho síť a její přechodová funkce

Množina výpočetních posloupností Petriho sítě N může být charakterizována regulárním výrazem

$$(t_2(e + t_3(t_1 t_1)^* t_3))^* t_1$$

Každý neprázdný prefix řetězce specifikovaného tímto výrazem tvoří výpočetní posloupnost.

Dosud jsme rodiskutovali jeden z důležitých rysů Petriho sítě, její *nedeterminismus*. Objevuje se při provádění přechodů Petriho sítě tehdy, jestliže pro jisté značení $M \in [M_0]$ existují alespoň dva různé přechody $t_1, t_2 \in T$, které jsou M -proveditelné. Pak mohou nastat dvě odlišné situace

- (1) Existují výpočetní posloupnosti $\alpha t_1 \beta$ a $\alpha t_2 \beta$ pro jisté $\alpha, \beta \in T^*$. V tomto případě přechody t_1 a t_2 modelují dvě vzájemně nezávislé události (operace) a mohou být provedeny v libovolném pořadí.

PETRIHO SÍTĚ

1. Motivace

- modely diskretních systémů
- " paralelních výpočtů
- " distribuovaných systémů

ndvrh x syntéza x analýza x verifikace

2. Historie

- C.A. Petri : Kommunikation mit automaten - dokt. dis. práce, 1962
- 70-tá léta MIT (analýza P. sítí)
- Bonn, Aarhus (Dánsko) - systémy pro práci s P. sítěmi
- ESPRIT, COST
- katedra IUT v Brně
 - (1) metodika modelování v diskv. simulačních jazycích
 - (2) PESIM - systém pro práci s P. sítěmi

3. Aplikace

- hardware (par. architektury)
- software (distr. systémy, inf. systémy, kom. protokoly)
- CAD - CASE-tools
- telekomunikace, strojírenství, administrativa

2. Condition-Event Nets (C/E-sítě)

2.1. Cases and steps

Základní sémantika C/E-sítě:

prvky z množiny P označují podmínky
 - " - T označují události

Definice 1

Necht' $N = (B, E, F)$ je síť.

(1) Podmnožina $c \subseteq B$ se nazývá případ (case)

(2) Necht' $e \in E$ a $c \subseteq B$. Událost e je proveditelná,
 přesněji c-proveditelná, jestliže

$$c \subseteq B \wedge c \cap e = \emptyset$$

(3) Necht' $e \in E$, $c \subseteq B$ a necht' e je c-proveditelná.

Případ $c' = (c \setminus e) \cup e'$

se nazývá následným případem c (následníkem k c)
 při události e . Píšeme

$$c \xrightarrow{e} c'$$

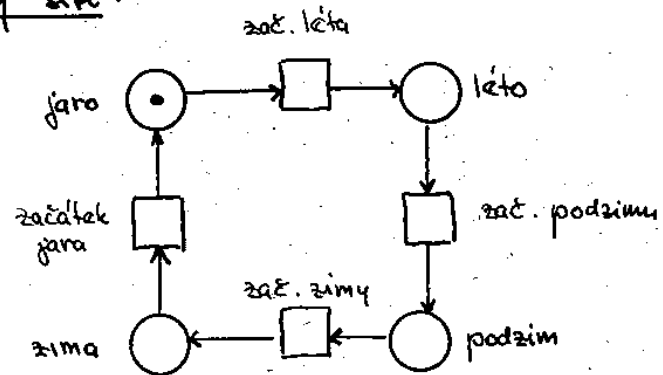
Pozn. (značení složek sítě):

e Bedingung = podmínka

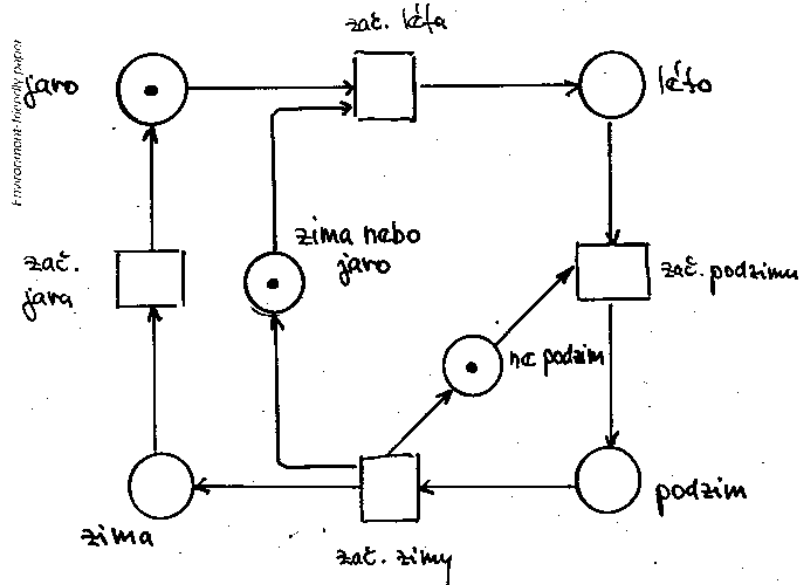
s Ereignis = událost

Grafické vyznačení případu c : pomocí teček (značek)

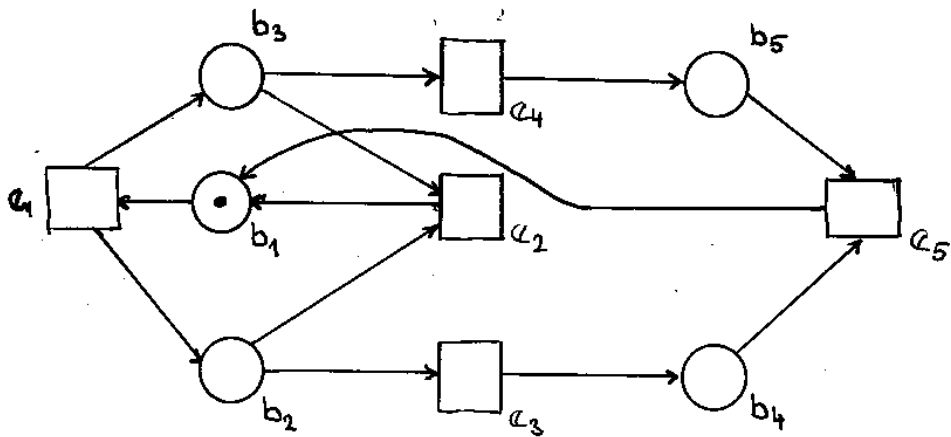
Příklady sítě:



Př. 1. Model změn ročních období



Příklad 2: alternativní model k př. 1



Příklad 3 : Ilustrační příklad

$\{b_1\} [c_1] \{b_2, b_3\} [c_2] \{b_2, b_5\} [c_3] \{b_4, b_5\} [c_5] \{b_1\}$

Různé "typy" události :

c_1 předchází c_3 i c_4

c_3, c_4 jsou alternativy k c_2

c_3, c_4 mohou být sloučeny (kombinovány) do 1 kroku

Poznámka

Situace pro případ c , kdy

$$e \subseteq c \wedge e' \cap c \neq \emptyset$$

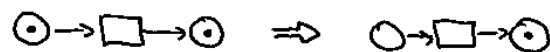
se nazývá kontaktní situací

Proč vadí ?

1. „proměnná s určitým obsahem je znovu načtena“
avšak „začne podzim v případě že ji podzim“

2. nejednoznačnost

Předpokládejme, že připustíme



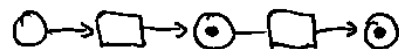
Pak ze situace



nevíme, zda výsledkem bude případ



nebo případ



Definice 2

Necht' $N = (B, E, F)$ je síť.

(1) Množina událostí $G \subseteq E$ se nazývá samostatná (detached),
jestliže

$$\forall e_1, e_2 \in G : e_1 \neq e_2 \Rightarrow \bullet e_1 \cap \bullet e_2 = \emptyset = e_1 \cap e_2$$

(2)

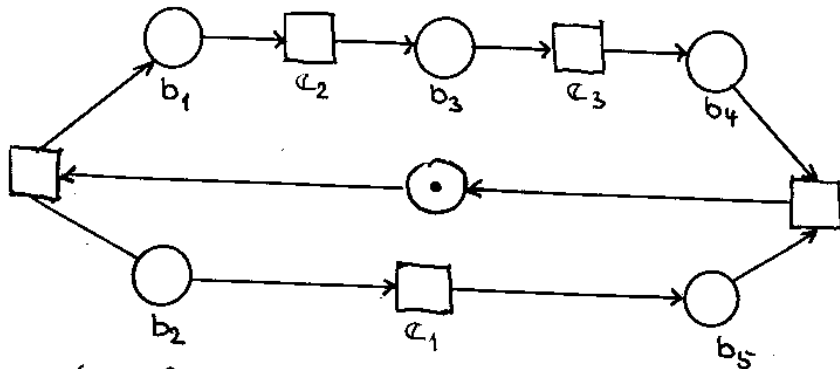
Necht' c, c' jsou případy N a necht' $G \subseteq E$ je samostatná.
 G se nazývá krokem z c do c' (notace $c[G > c'$)
jestliže každá událost $e \in G$ je c -proveditelná
a

$$c' = (c \setminus G) \cup G$$

Lemma 1

$$c[G > c' \Leftrightarrow c \setminus c' = G \wedge c' \setminus c = G$$

Příklad 4



$\{e_1, e_2\}$ je krok z $\{b_1, b_2\}$ do $\{b_3, b_5\}$

$\{e_1, e_3\}$ je krok z $\{b_2, b_3\}$ do $\{b_4, b_5\}$

Krok je důležitým pojmem pro popis procesů generovaných
danou sítí (viz dále)

Lemma 2

Necht' N je síť, c, c' případy sítě N a necht' G je konečný
krok z c do c' . Necht' (e_1, e_2, \dots, e_n) je libovolné uspořádaní
událostí kroku $G = \{e_1, \dots, e_n\}$. Pak existuje případy c_0, c_1, \dots, c_n
takové, že

$$c = c_0, c' = c_n \text{ a}$$

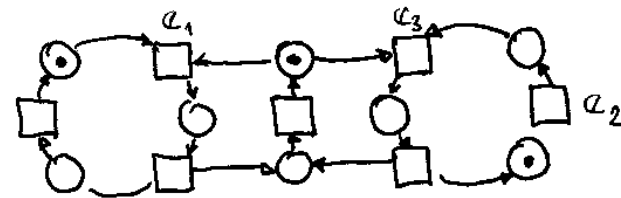
$$c_{i-1} [e_i > c_i \text{ pro } i = 1, \dots, n$$

Důkaz

Necht' $e, e' \in G$ a necht' c je případ, ve kterém jsou
proveditelné obě události e, e' . Pak $\bullet e \cap \bullet e' = \emptyset \wedge e \cap e' = \emptyset$.
Také když $c [e > c'$, pak $\bullet e' \subseteq c'$. Analogicky platí
 $e' \cap c' = \emptyset$, a tedy e' je proveditelná v c' . Zbytek indukce.

Pozn. konflikty, confusion (amatek)

Příklad 5



Jestli e_1 se objeví před e_2 , pak nebude konflikt mezi e_1 ,
avšak jestli e_2 bude před e_1 , pak vzniká konflikt.

confusion = nespecifikované pořadí provedení e_1, e_2 .

2.2. C/E systémy

Omezuje se množina případů C :

- (1) C je „uzavřena“
- (2) C je „dostatečně“ velká
 - (i) každé události přiřadí případ
 - (ii) každá podmínka patří alespoň do jednoho případu, avšak ne do každého (to vylučuje smyčky a izol. prvky)
- (3) nepovoluje se dvě podmínky (události), které mají shodné přesety a postsety

Definice 3

Čtveřice $\Sigma = (B, E, F, C)$ se nazývá Condition/Event systém (C/E systém) jestliže:

- (1) (B, E, F) je jednoduchá síť bez izolovaných prvků, $B \cup E \neq \emptyset$
- (2) $C \subseteq 2^B$ je faktorová množina vzhledem k relaci dosažitelnosti $R_\Sigma = (r_\Sigma \cup r_\Sigma^{-1})^*$,

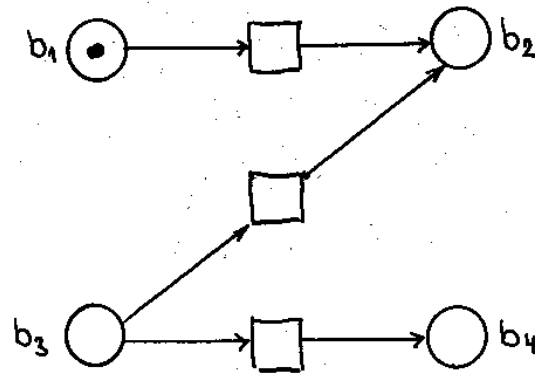
kde $r_\Sigma \subseteq 2^B \times 2^B$ je dána vztahem

$$c_1 r_\Sigma c_2 \stackrel{\text{def.}}{\iff} \exists G \subseteq E : c_1 [G] > c_2$$

C se nazývá případová třída sítě Σ (case class)

- (3) $\forall e \in E \exists c \in C$ tak, že e je c -provetelná

Příklad 6



C/E systém, případová třída $C = \{\{b_1\}, \{b_2\}, \{b_3\}, \{b_4\}\}$

Pozn.:

Případová třída C lib. C/E systému je plně určena libovolným prvkem C .

Tvrzení 1 Necht' Σ je C/E systém.

- (1) $B \neq \emptyset \wedge E \neq \emptyset \wedge F \neq \emptyset$
- (2) $\forall c \in C, c' \subseteq B$ a $G \subseteq E$

$$c [G] > c' \Rightarrow c' \in C$$

$$c' [G] > c \Rightarrow c' \in C$$
- (3) $\forall b \in B \exists c, c'$ tak, že $b \in c \wedge b \notin c'$
- (4) Σ je čistá síť

Tvrzení 2

Nechť \mathcal{I} je C/E systém a necht' $\hat{r} \subseteq 2^B \times 2^B$ je relace definovaná vztahem

$$c_1 \hat{r} c_2 \stackrel{\text{def}}{\iff} \exists c \in E : c_1 [c] c_2$$

Je-li E konečná množina, pak

$$\boxed{R_{\mathcal{I}} = (\hat{r} \cup \hat{r}^{-1})^*}$$

Důkaz

Pro $\hat{R} = (\hat{r} \cup \hat{r}^{-1})^*$ platí triviálně $\hat{R} \subseteq R_{\mathcal{I}}$. Protože E je konečná, každý krok sítě \mathcal{I} je konečný a proto z L1 plyne $R_{\mathcal{I}} \subseteq \hat{R}^*$ a $\hat{R} \subseteq (R_{\mathcal{I}})^*$. Z toho pak dostaneme $R_{\mathcal{I}} \subseteq \hat{R}$.

2.3. Cyklické a živé systémy

Definice 4

C/E systém \mathcal{I} se nazývá cyklický, jestliže

$$\boxed{\forall c_1, c_2 \in C : c_1 r_{\mathcal{I}}^* c_2}$$

Tvrzení

Nechť \mathcal{I} je cyklický C/E systém a necht' $c \in C$.

Pak

$$C = \{c' \mid c r_{\mathcal{I}}^* c'\}$$

Definice 5

C/E systém \mathcal{I} je živý, jestliže

$$\forall c \in C \forall e \in E \exists c' \in C \text{ takový že } c r_{\mathcal{I}}^* c' \text{ a } e \text{ je } c' \text{-proveditelná}$$

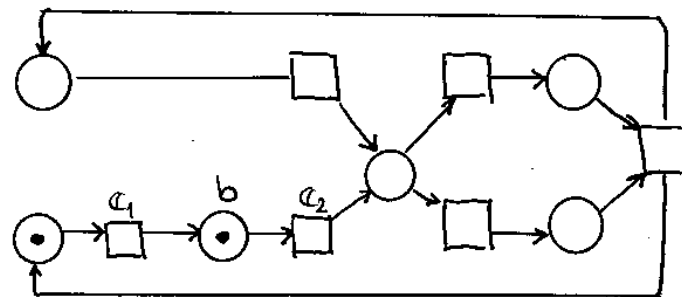
Tvrzení

Každý cyklický C/E systém je živý.

Důkaz

Nechť $c \in C$ a $e \in E$. Podle definice 3 existuje $c' \in C$, takový, že e je c' -proveditelná. Podle definice 4 platí $c r_{\mathcal{I}}^* c'$.

Příklad 4



Příklad C/E systému, který je živý, avšak není cyklický - uvedený případ není reprodukovatelný.

2.4. Ekvivalence C/E systémů

Definice 6

Necht' Σ a Σ' jsou C/E systémy.

(1) Jsou-li dány bijekce

$$p: C_{\Sigma} \rightarrow C_{\Sigma'} \text{ a } \varepsilon: E_{\Sigma} \rightarrow E_{\Sigma'}, \text{ pak}$$

systémy Σ, Σ' nazýváme (p, ε) -ekvivalentní, jestliže pro všechny případy $c_1, c_2 \in C_{\Sigma}$ a všechny mn. události $G \in E_{\Sigma}$ platí:

$$c_1 [G] c_2 \Leftrightarrow p(c_1) [\varepsilon(G)] p(c_2)$$

(2) Σ, Σ' jsou isomorfní, jestliže stě $(B_{\Sigma}, E_{\Sigma}, F_{\Sigma})$ a $(B_{\Sigma'}, E_{\Sigma'}, F_{\Sigma'})$ jsou isomorfní při bijekci β a jestliže

$$c \in C_{\Sigma} \Leftrightarrow \{\beta(b) \mid b \in c\} \in C_{\Sigma'}$$

Notace

$\Sigma \sim \Sigma'$ jsou-li Σ a Σ' ekvivalentní

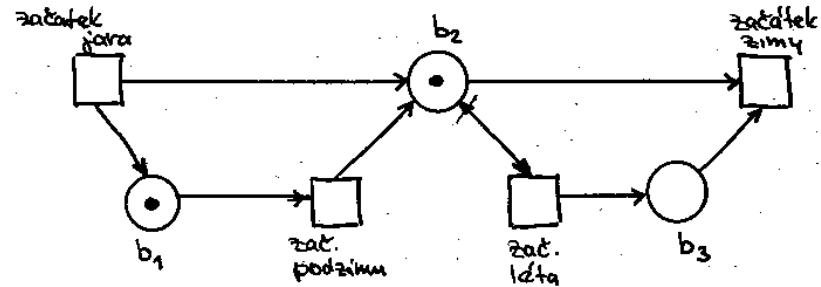
Tvrzení

\sim je relace ekvivalence

Tvrzení

Ekvivalentní C/E systémy mají vždy stejný počet případů, událostí a kvocí. Mohou se lišit v mohutnosti množin podmínek.

Příklad 8



Příklad C/E systému ekvivalentního systémům z Př. 1, 2

Jeho případy jsou:

$$\{b_1, b_2\} \equiv \text{jaro}$$

$$\{b_1, b_3\} \equiv \text{léto}$$

$$\{b_2, b_3\} \equiv \text{podzim}$$

$$\emptyset \equiv \text{zima}$$

Tvrzení

Necht' Σ, Σ' jsou ekvivalentní C/E systémy

(1) Σ je cyklický $\Leftrightarrow \Sigma'$ je cyklický

(2) Σ je živý $\Leftrightarrow \Sigma'$ je živý

Lemma

Necht' Σ a Σ' jsou C/E systémy, pro které platí: $\forall c \in C_{\Sigma} \cup C_{\Sigma'}: |c| = 1$

Σ a Σ' jsou ekvivalentní právě když jsou isomorfní

2.5. Bezkontaktní C/E systémy

13

Definice 7

Nechť Σ je C/E systém a necht' $b, b' \in B$.

- (1) b' se nazývá komplement b , jestliže $\cdot b = b'$ a $b \cdot = \cdot b'$
- (2) Σ se nazývá úplný, jestliže každý prvek $b \in B$ má komplement $b' \in B$.

Lemma

Nechť Σ je C/E systém a $b \in B$

- (1) b má nejvýše jeden komplement; označme jej \hat{b} .

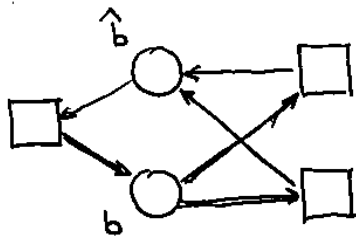
Jestliže b má komplement \hat{b} , pak

- (2) \hat{b} má komplement a $\hat{\hat{b}} = b$
- (3) $\forall c \in C : b \in c \vee \hat{b} \in c$

Je-li Σ úplný C/E systém, pak

- (4) $\forall c \in E : |c| = |\hat{c}|$
- (5) $\forall c \in C : |c| = \frac{1}{2} |B|$

Příklad 9



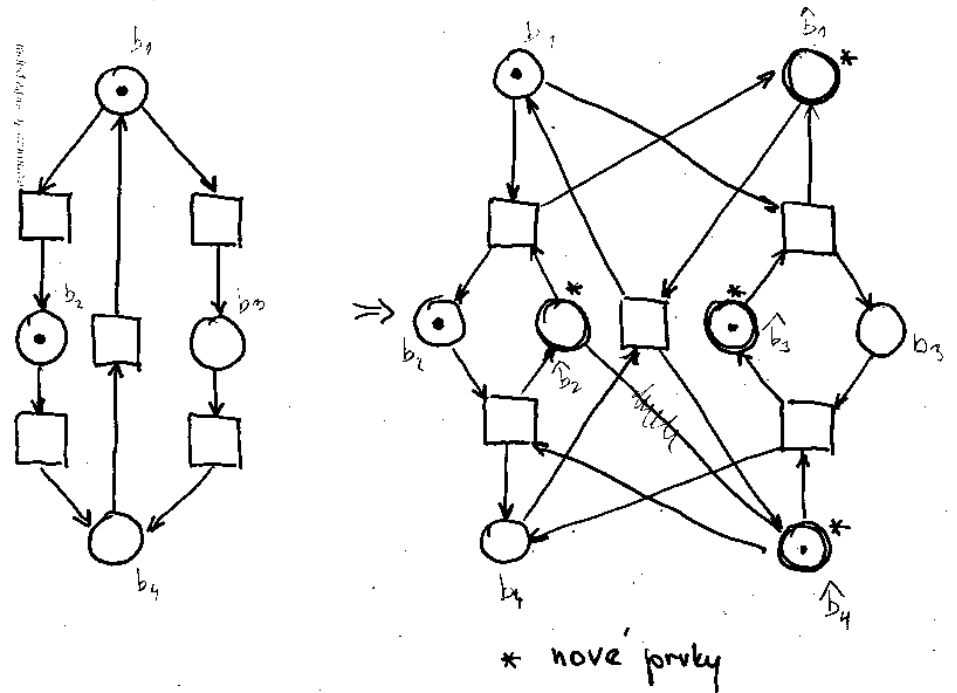
Definice 8

Nechť Σ je C/E systém a necht' $B \subseteq B_\Sigma$ je množina podmínek které nemají komplement v B_Σ . Pro každé $b \in B$ necht' \hat{b} označuje nový prvek. Položme

$$F = \{(c, \hat{b}) \mid (b, c) \in F_\Sigma \wedge b \in B\} \cup \{(\hat{b}, c) \mid (c, b) \in F_\Sigma \wedge b \in B\}$$

Pro $c \in C_\Sigma$ necht' $\varphi(c) = c \cup \{\hat{b} \mid b \in B \wedge b \notin c\}$. Tak C/E systém $\hat{\Sigma} = (B_\Sigma \cup \{\hat{b} \mid b \in B\}, E_\Sigma, F_\Sigma \cup F, \varphi(C_\Sigma))$ je komplementací systému Σ . $\varphi(c)$ je komplementací c .

Příklad 10



Tvrzení

Necht' \mathcal{I} je C/E systém a $c \in C$

- (1) $\hat{\mathcal{I}} = \hat{\mathcal{I}}$
- (2) $\forall b \in B \forall c \in C : b \in \varphi(c) \Leftrightarrow \hat{b} \notin \varphi(c)$
- (3) $c = \varphi(c) \cap B$

Notace

Necht' \mathcal{I} je C/E systém a necht' $c \in E_{\mathcal{I}}$.

Označme $\cdot c$, resp. c^{\cdot} pro resp počet uddlosti c v $\hat{\mathcal{I}}$ (na rozdíl od $\cdot c, c^{\cdot}$)

Tvrzení

Necht' \mathcal{I} je C/E systém a necht' $G \in E_{\mathcal{I}}$ a B je množina podmínek, které nemají komplement.

- (1) $\bar{G} = \cdot G \cup \{\hat{b} \mid b \in B \wedge b \in G^{\cdot}\}$
 $G^{\cdot} = G^{\cdot} \cup \{\hat{b} \mid b \in B \wedge b \in G\}$
- (2) $\cdot G = \bar{G} \cap B_{\mathcal{I}}, G^{\cdot} = G^{\cdot} \cap B_{\mathcal{I}}$

Theorem 1

Je-li $\hat{\mathcal{I}}$ komplementací systému \mathcal{I} , pak $\hat{\mathcal{I}}$ a \mathcal{I} jsou ekvivalentní

Důkaz.

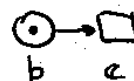
Definice 9

Necht' \mathcal{I} je C/E systém. \mathcal{I} se nazývá bezkontaktní, jestliže pro každé $c \in E_{\mathcal{I}}$ a každé $c' \in C_{\mathcal{I}}$ platí:

- (1) $\cdot c \subseteq c' \Rightarrow c \in B_{\mathcal{I}} \setminus c'$
- (2) $c^{\cdot} \subseteq c' \Rightarrow c \in B_{\mathcal{I}} \setminus c'$

Pozn.

Podmínka (2) nplyne vždy s (1). Prověř.



$B_{\mathcal{I}} = \{b\}$
 $C = \{c, \emptyset\}$
 $\cdot c = \{c\}$
 $c^{\cdot} = \emptyset$

Theorem 2

- (1) Každý úplný C/E systém je bezkontaktní
- (2) Pro každý C/E systém existuje ekvivalentní bezkontaktní systém
- (3) Je-li \mathcal{I} bezkontaktní, pak $\forall c \in E_{\mathcal{I}} : \cdot c \neq \emptyset \wedge c^{\cdot} \neq \emptyset$

2.6. Case grafy (grafy případů)

Zákl. sémantika: uzly reprezentují případy
hrany " " kroky

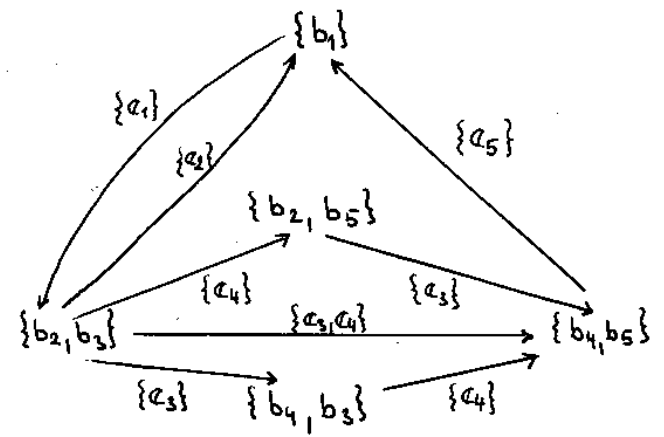
Definice 10

Nechť Σ je C/E systém, \mathcal{E} necht' je množina všech kroků systému Σ a necht' H je množina

$$H = \{(c_1, G, c_2) \in C_\Sigma \times \mathcal{E} \times C_\Sigma \mid c_1[G]c_2\}$$

Pak graf $\Phi_\Sigma = (C_\Sigma, H)$ se nazývá case graf (graf případů) C/E systému Σ .

Příklad 11



Case graf odpovídající systému z Příkladu 3

Theorem 3

C/E systém Σ je cyklický, právě když je jeho case graf silně souvislý.

Důkaz

$$\Sigma \text{ je cyklický} \Leftrightarrow \forall c, c' \in C_\Sigma : c \Sigma^* c'$$

$$\Leftrightarrow \forall c, c' \in C_\Sigma \exists G_1, \dots, G_n \in \mathcal{E} \exists c_0, \dots, c_n \in C_\Sigma :$$

$$c_0[G_1]c_1 \dots [G_n]c_n \wedge c_0 = c \wedge c_n = c'$$

$$\Leftrightarrow \Phi_\Sigma \text{ je silně souvislý}$$

Theorem 4

C/E systém Σ je živý, když a jen když pro každé $c_0 \in C_\Sigma$ a pro každé $c \in E_\Sigma$ existuje cesta v Φ_Σ :

$$c_0 \xrightarrow{h_1} c_1 \dots \xrightarrow{h_n} c \text{ kde } h_n = \{c\} \\ h_m = c_{m-1} [e] c_m$$

Důkaz: Σ je živý $\Leftrightarrow \forall c_0 \in C_\Sigma \forall c \in E_\Sigma \exists c' \in C_\Sigma :$

$$c_0 \Sigma^* c \wedge c [e] c' \Leftrightarrow$$

$\forall \Phi$ existuje cesta $c_0 \xrightarrow{h_1} \dots \xrightarrow{h_{n-1}} h_n c_n$ kde $c_{n-1} = c, h_n = \{c\}, c_n = c'$

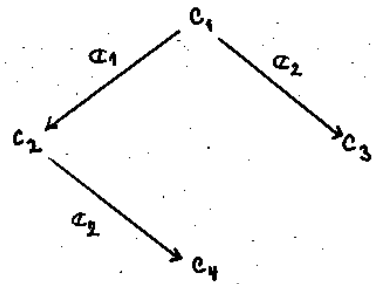
Theorem 5

Dva C/E systémy jsou ekvivalentní, právě když jsou jejich case grafy izomorfní.

Důkaz:

Cvičení

Ne každý graf je grafem C/E systému. Např. graf



není grafem žádného C/E systému:

- V případě c_1 jsou proveditelné události a_1, a_2
 - jestliže existuje konflikt mezi a_1 a a_2 , pak a_2 není c_2 -proveditelná a graf nesmí mít hranu $(c_2, \{a_2\}, c_4)$
 - jestliže tento konflikt neexistuje, pak a_1 je proveditelná také v c_3 a tudíž chybí hrana $(c_3, \{a_1\}, c_4)$

V „silně“ paralelních systémech se case graf stává velmi složitým. Např. krok, který obsahuje n událostí generuje 2^n hran tohoto grafu.

Theorem 6

Nechť Σ je C/E systém, $c_1, c_2, c_3 \in C_\Sigma$ a $G_1, G_2 \in E_\Sigma$.

- (1) Jestli $c_1 G_1 c_2 G_2 c_3$ je cesta v Φ_Σ , pak $G_1 \cap G_2 = \emptyset$
- (2) Nechť $G_1 \cap G_2 = \emptyset$. Jestli $c_1 (G_1 \cup G_2) c_3$ je hrana v Φ_Σ , pak existuje $c \in C_\Sigma$ tak, že $c_1 G_1 c G_2 c_3$ je také cesta v Φ_Σ .

Důkaz:

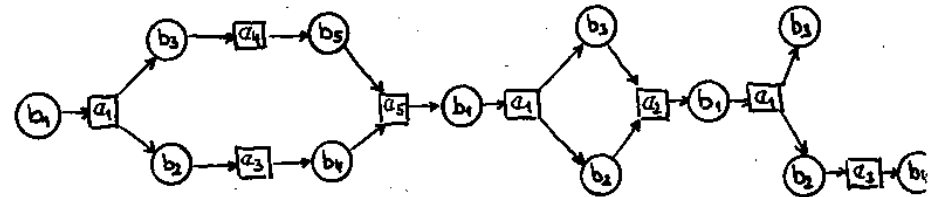
- (1) $c \in G_1 \Rightarrow c_2 \cap c = \emptyset \Rightarrow c$ není c_2 -proveditelná $\Rightarrow c \notin G_2$
- (2) $c_1 (G_1 \cup G_2) c_2$ je hrana $\Phi_\Sigma \Rightarrow c_1 [G_1 \cup G_2] c_2 \Rightarrow c_1 [G_1] c \wedge c [G_2] c_2$

3. PROCESY C/E SYSTÉMU

Problém reprezentace procesů

1. Prostřednictvím case grafu jako cesta v grafu (není zcela adekvátní)
2. Výskytová síť (occurrence net) jednoznačný, explicitní záznam výskytů událostí a změn podmínek systému

Příklad 1.



Reprezentace procesů při provádění sítě z Příkladu 3 (kap. 2) odpovídající posloupnosti např.

$$\{b_1\} [a_1] \{b_2, b_3\} [a_4] \{b_2, b_5\} [a_5] \{b_4, b_5\} [a_5] \{b_1\} [a_1]$$

$$\{b_2, b_3\} [a_2] \{b_1\} [a_1] \{b_2, b_3\} [a_3] \{b_4\}$$

Atributy této reprezentace:

- ohodnocená síť
- částečně uspořádaná síť

3.1. Částečně uspořádané množiny

21

Definice 0

Nechť M je množina. Relace $\rho \subseteq M \times M$ se nazývá částečně uspořádaná, jestliže $\forall a, b \in M$

- | |
|--|
| (1) $\neg(a \rho a)$ [ρ je ireflexivní] |
| (2) $a \rho b \wedge b \rho c \Rightarrow a \rho c$ [ρ je tranzitivní] |

Část. uspořádaní ρ budeme zapisovat symbolem $<$ (bez ohledu na nosič). Dále $a \leq b \Leftrightarrow a < b \vee a = b$

Ukážeme nyní některé vlastnosti relace, která popisují vztah „kauzální závislosti a nezávislosti“.

Definice 1

Nechť A je množina. Relace $\rho \subseteq A \times A$ se nazývá relací podobnosti (tolerance) (angl. similarity relation), jestliže

- | |
|--|
| (1) $\forall a \in A : a \rho a$ [ρ je reflexivní] |
| (2) $\forall a, b \in A : a \rho b \Rightarrow b \rho a$ [ρ je symetrická] |

Podmnožina $B \subseteq A$ se nazývá oblastí relace podobnosti ρ jestliže

- | |
|--|
| (1) $\forall a, b \in B : a \rho b$ [ρ je úplnou relací na B] |
| (2) $\forall a \in A : a \notin B \Rightarrow \exists b \in B : \neg(a \rho b)$
[B je maximální] |

Tvrzení 1: Necht' ρ je relace podobnosti na A .

- (1) Každý prvek $a \in A$ patří alespoň do jedné oblasti relace ρ
- (2) Žádná oblast není vlastní podmnožinou jiné oblasti
- (3) Je-li ρ ztotožněn ekvivalencí, pak její oblasti jsou shodné s třídami rozkladu generovaného touto ekvivalencí.

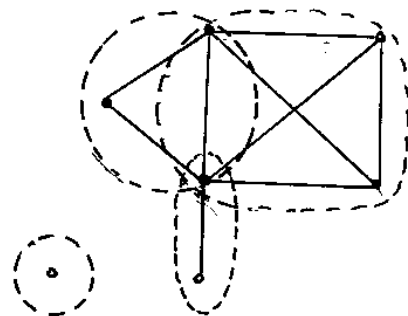
Grafická reprezentace relace podobnosti:

Neorientovaným grafem kde

A je množina vrcholů a

$K = \{(a, b) \mid a \neq b \wedge a \rho b\}$ je množina hran

Příklad 2



Příklad relace podobnosti a její oblasti

Definice 2

Nechť A je částečně uspořádaná množina

(1) Necht' $\underline{li} \subseteq A \times A$ je binární relace

$a \underline{li} b \Leftrightarrow a < b \vee b < a \vee a = b$
--

(2) $\underline{co} \subseteq A \times A$ je bin. relace

$a \underline{co} b \Leftrightarrow \neg(a \underline{li} b) \vee a = b$
--

(tan. $a \underline{co} b \Leftrightarrow \neg(a < b \vee b < a)$)

Tvrzení 2

Nechť A je část uspořádaná množina a nechť $a, b \in A$.

- (1) $a \underline{li} b$ v $a \underline{co} b$
- (2) $a \underline{li} b \wedge a \underline{co} b \Leftrightarrow a = b$

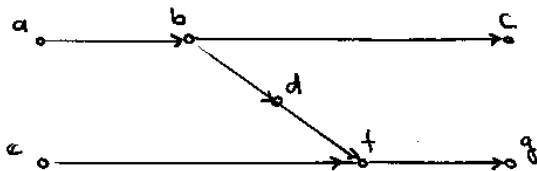
Theorem 1

Pro každou část uspořádanou množinu ^(poset) jsou bin. relace \underline{li} a \underline{co} relacemi podobnosti.

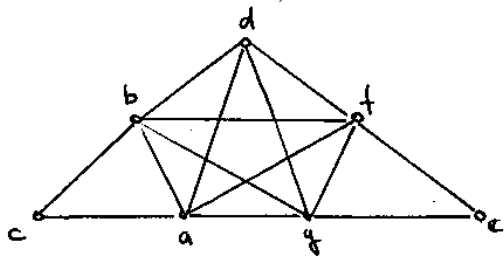
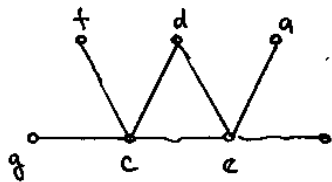
D.

Příklad 3

Kvažijme poset:



Odpovídající graf. reprezentace relací \underline{li} a \underline{co} :

 \underline{li}  \underline{co} Definice 3

Nechť A je poset a $B \subseteq A$.

- (1) B se nazývá ^{řezem} ~~řezem~~ (line), je-li B oblastí \underline{li}
- (2) B se nazývá řezem (cut), je-li B oblastí \underline{co}

Př. 4.

Část uspořádaná z př. 3 má

- 3 ^{řezem} ~~řezem~~ $\{a, b, c\}$, $\{e, f, g\}$ a $\{a, b, d, f, g\}$ a
- 5 řezů: $\{a, b\}$, $\{a, b, d\}$, $\{e, d, c\}$, $\{f, c\}$ a $\{g, c\}$

Tvrzení 3

Nechť A je poset a $B \subseteq A$

- (i) B je ^{řezem} ~~řezem~~ právě když
 - (a) $\forall a, b \in B : a < b \vee b < a \vee a = b$ a
 - (b) $\forall a \in A \setminus B \exists b \in B : \neg(a < b \vee b < a)$ *řezem*
- (ii) B je řezem právě tehdy, když
 - (a) $\forall a, b \in B : \neg(a < b \vee b < a)$ a
 - (b) $\forall a \in A \setminus B \exists b \in B : (a < b \vee b < a)$ *řezem*

Definice 4

Nechť A je poset a nechť $B, C \subseteq A$.

- (1) Množina A se nazývá omezená (ohraničená), jestliže existuje $n \in \mathbb{N}$ takové, že pro každou ^{řezem} ~~řezem~~ množinu A platí $|I| \leq n$.
- (2) B předchází C (píšeme $B \leq C$), jestliže

$$\forall b \in B \forall c \in C : b < c \vee b \underline{co} c$$
 ($B < C$ značí $B \leq C$ a $B \neq C$)

3.2. Výskytové sítě (Occurrence Nets)

(3) Necht' $B^- = \{a \in A \mid \{a\} \leq B\}$
 $B^+ = \{a \in A \mid B \leq \{a\}\}$

(4) Necht' ${}^{\circ}B = \{b \in B \mid \forall b' \in B : b \leq b' \vee b' < b\}$
 $B^{\circ} = \{b \in B \mid \forall b' \in B : b \leq b' \vee b' < b\}$

zřejmě ${}^{\circ}A$ obsahuje minimální prvky množiny A , A° pak maximální prvky množiny A .

Theorem 2

Je-li A omezená část. usp. množina, pak ${}^{\circ}A$ a A° jsou řezy.

Důkaz:

Necht' a, b jsou lib. prvky ${}^{\circ}A$. Pak $a \leq b$ protože $\tau(a, b \vee b, a)$. Necht' $c \in A^{\circ}$ a necht' L je řetězec a $c \in L$. Protože L je konečná mn., existuje $d \in L \cap {}^{\circ}A$ a proto d.c. Podle Tv. 3 (ii) je ${}^{\circ}A$ řezem. Pro A° analogicky.

Tvrzení 4

Necht' A je poset, L řetězec a D řez množiny A . Pak

$$|L \cap D| \leq 1$$

Důkaz

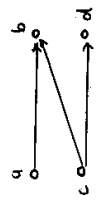
Necht' $a, b \in L \cap D$. Pak $a \leq b$, protože $a, b \in L$. Avšak $a \leq b$, protože $a, b \in D$. Podle Tv. 2 (2) je $a = b$.

Definice 5

Poset A se nazývá K -mnohým (K -dense), jestliže každý řetězec má neprotážený průnik s každým řezem.

Příklad 4

Poset, který nemá K -mnohý:
 $\{a, b\} \cap \{a, d\} = \emptyset$



Definice 6

Sít' $K = (S_K, T_K, F_K)$ se nazývá výskytová sít', jestliže

- (1) $\forall a, b \in K : a F_K b \Rightarrow \tau(b F_K^+ a)$
t.j. K nemá cykly
- (2) $\forall s \in S_K : |s| \leq 1 \wedge |s^+| \leq 1$
t.j. místa sítě nejsou větvená

Tvrzení 5

Necht' K je výskytová sít'. Relace $<$ definovaná:

$$a < b \stackrel{\text{def}}{\Leftrightarrow} a F_K b \text{ pro v. } a, b \in K$$

je částečné uspořádání na K (t.j. $S_K \cup T_K$).

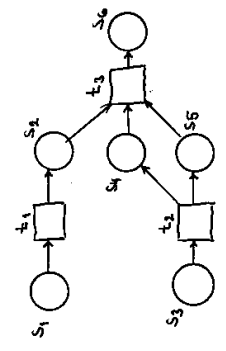
Pozn.

To znamená, že pro K jsou definovány dvě zavedené pojmy: řetězec, řez, omezenost, K -mnohý

Definice 7

S-řezem (slice) nazýváme řez, který obsahuje pouze místa. Danačme $s \perp K$ množinu všech S -řezů sítě K .

Příklad 5 (příklady S-řezů)



Tato sít' má 3 řetězce,
 11 řezů, z toho 5 S -řezů

Pr. řetězce:
 $\{s_1, t_2, s_4, t_3, s_6\}$

Příklad řezů:
 $\{t_1, s_4, s_6\}$

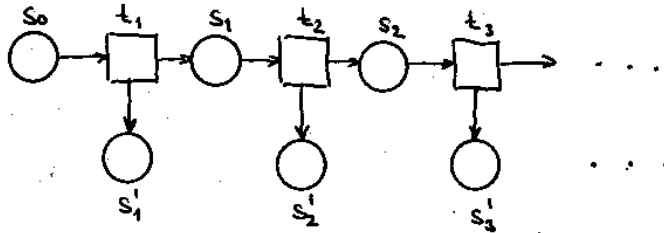
Příklad S -řezů:
 $\{s_1, s_3\}$

Síť má množinu míst M a množinu hran E .

Theorem 3

Každá omezená neprázdná výskytová síť je K -husta.

Příklad 6 (síť, která není K -hustá)



$$\{s_0, t_1, s_1, \dots\} \cap \{s_1', s_2', \dots\} = \emptyset$$

Pokud by tato síť byla konečná:

$$|\{s_0, t_1, s_1, \dots, t_n, s_n\} \cap \{s_1', \dots, s_n'\}| = 1$$

3.3. Procesy

Proces definujeme jako zobrazení z omezené výskytové sítě do bezkontaktního C/E systému, které splňuje

2 požadavky:

- (1) každý S-řez sítě je injektivně zobrazen na nějaký případ C/E systému
- (2) zobrazení přechodů výsk. sítě na události C/E systému respektují okolí události

$$f(x_1) = f(x_2) \Rightarrow x_1 = x_2$$

2+

definice 8

Nechť K je omezená výskytová síť a nechť Σ je bezkontaktní C/E systém. Zobrazení $p: K \rightarrow \Sigma$ se nazývá proces systému Σ , jestliže pro každý S-řez D sítě K a každý přechod $t \in T_K$ platí:

- (1) $p(D)$ je injektivní a $p(D) \in C_\Sigma$
- (2) $p(\cdot t) = \cdot p(t) \wedge p(t \cdot) = p(t) \cdot$ zachování okolí

Grafická reprezentace procesu $p: K \rightarrow \Sigma$:

každý prvek x sítě K je označen (labelled) svým obrazem $p(x)$.

Síť z Příkl. 1 je procesem z příkladu 3, kap. 2.

Theorem 4

Pro každý proces $p: K \rightarrow \Sigma$ platí:

- (1) $p(S_K) \subseteq B_\Sigma \wedge p(T_K) \subseteq E_\Sigma$ p zachovává druhy
- (2) $\forall x, y \in K: x F_K y \Rightarrow p(x) F_\Sigma p(y)$ p zachovává relaci toku
- (3) $\forall x, y \in K: p(x) = p(y) \Rightarrow x \parallel y$ ~~není~~ podmínky ~~není~~ a události nejsou vzájemně paralelní
- (4) $\forall t \in T_K: \cdot t \neq \emptyset \wedge t \cdot \neq \emptyset$
 důsledek bezkontaktnosti \Rightarrow události mají antecedenty a konsekventy
- (5) pro každý řez D sítě K : $p(D)$ je injektivní

Theorem 5

Nechť $p: K \rightarrow I$ je proces, necht' $T \subseteq T_K$ platí $\forall t_1, t_2 \in T: t_1 \leq t_2$.
 Pak $\exists c_1, c_2 \in C_I: c_1 \ll p(T) \ll c_2$.

Důkaz zřejmě $\forall s_1, s_2 \in {}^{\circ}T: s_1 \leq s_2$. Pak tedy existuje $D \in \underline{sl}(K)$,
 pro který ${}^{\circ}T \subseteq D$. Podle definice 8 $p(D) \in C_I$ a ${}^{\circ}p(T) = p({}^{\circ}T) \in p(D)$.
 Dále $\forall s \in T \exists s_1 \in D$ takové, že $s_1 < s$. Proto $T \cap D = \emptyset$ a také
 $p(D) \cap p(T) = p(D) \cap p(T) = \emptyset$. Tudiž $p(T)$ je $p(D)$ proveditelný
 krok.

Zozn. Izomorfismus výšk. sítě - nepojmenovávají se prvky sítě

10 Každý bezkontaktní C/E systém je plně charakterizován množinou
 svých procesů. Proces $p: K \rightarrow I$ je skutečně reprezentován množinou
 dvojic $\{(x, p(x)) \mid x \in K\}$.

Theorem 6

Nechť Σ_1, Σ_2 jsou dva bezkontaktní C/E systémy a necht' P_i
 jsou množiny procesů systémů Σ_i ($i=1,2$). Pak
 $P_1 = P_2 \iff \Sigma_1 = \Sigma_2$

Důkaz: Necht' $\Sigma_i = (B_i, E_i, F_i, C_i)$, $i=1,2$ a necht' $\Sigma_1 \neq \Sigma_2$.
 Pak existují $b \in B_1 \cup B_2$ nebo $e \in E_1 \cup E_2$ nebo $c \in C_1 \cup C_2$ takový,
 že $b \in B_1 \setminus B_2$ nebo $e \in E_1 \setminus E_2$ nebo $(b, e) \in F_1 \setminus F_2$ nebo $(a, b) \in F_1 \setminus F_2$
 nebo $c \in C_1 \setminus C_2$. Pak ale existují krok $c_1 \ll c_2$ v Σ_1 , který není
 možný v Σ_2 (vyber $b \in C_1 \cup C_2$ nebo $e = e$ nebo $c_1 = c$ nebo $c_2 = c$).
 Pro $K = (S, \{t\}, F)$ necht' $p: K \rightarrow I$ je proces pro který $p({}^{\circ}K) = c_1$
 a $p(K^{\circ}) = c_2$ a $p(t) = e$. Pak $p \in P_1 \setminus P_2$.

3.4 Kompozice procesů

Za předpokladu, že proces p_1 končí v stejném případě (stav)
 ve kterém proces p_2 začíná, definujeme kompozici

$$p_1 \circ p_2$$

Lemma 1

Je-li $p: K \rightarrow I$ proces, pak ${}^{\circ}K$ a K° jsou S-řezy mn. K .

Důkaz. Podle Th. 2 jsou ${}^{\circ}K$ a K° řezy množiny K . Protože I je
 bezkontaktní, pak pro každé $e \in E_I$ je $e \neq \emptyset$ a $e^{\circ} \neq \emptyset$.
 z Def. 5(2) plyne ${}^{\circ}K \cup K^{\circ} \subseteq S_K$

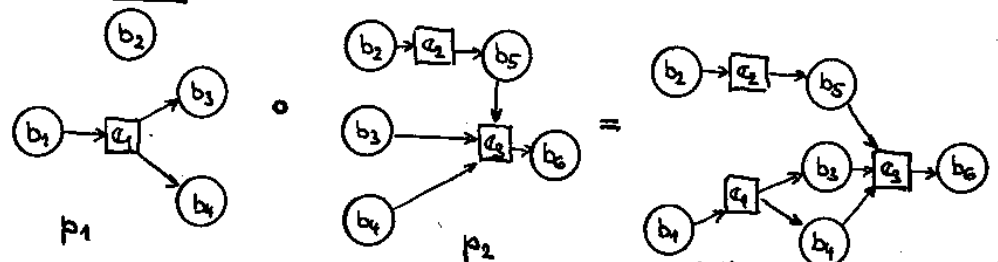
Lemma 2

Nechť $p_i: K_i \rightarrow I$, $i=1,2$, jsou dva procesy, pro které
 $p_1(K_1^{\circ}) = p_2({}^{\circ}K_2)$. Pak existuje právě jedna (až na izomorfismus)
 výškovatá síť K a S-řez této sítě D a proces $p: K \rightarrow I$
 takový, že

$$p|D^{\circ} = p_1 \text{ a } p|D^{\circ} = p_2$$

Důkaz: Necht' $K_i = (S_i, T_i, F_i)$, $i=1,2$ a necht' $(S_1 \cup T_1) \cap (S_2 \cup T_2) =$
 $= K_1^{\circ} = {}^{\circ}K_2$. Pak síť $K = (S_1 \cup S_2, T_1 \cup T_2, F_1 \cup F_2)$,
 $D = K_1^{\circ} = {}^{\circ}K_2$ a proces p definovaný předpisem
 $p(x) = p_i(x) \iff x \in K_i, i=1,2$
 splňují tvrzení lemmy.

Příklad 7



Definice 9

Nechť p_1, p_2, p jsou procesy splňující Lemma 2. Proces p se nazývá kompozicí procesů p_1 a p_2 . Kompozici procesů zapisujeme $p = p_1 \circ p_2$

Tvrzení 6

Nechť $p: K \rightarrow \Sigma$ je proces a necht' D je S-řez množiny K .
Nechť $p^- = p|D^-$ a $p^+ = p|D^+$. Pak p^- a p^+ jsou procesy a $p = p^- \circ p^+$

Tvrzení 7

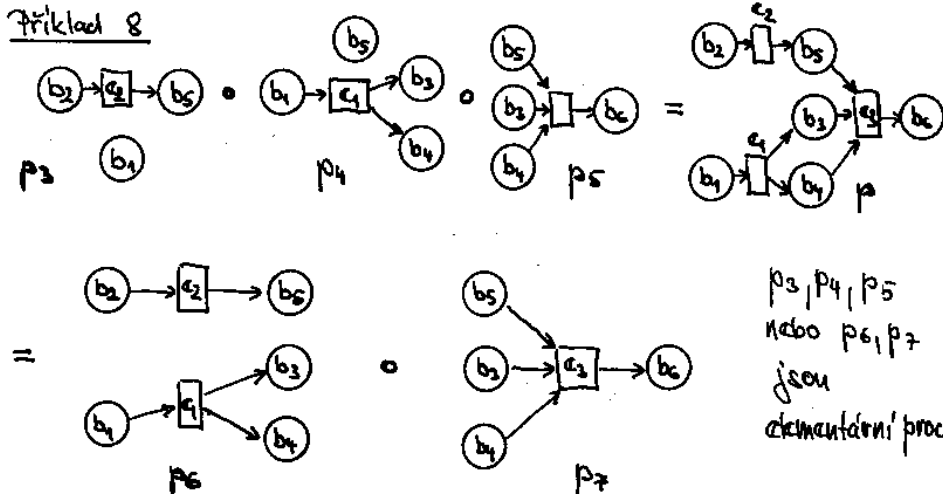
Nechť p_1, p_2, p_3 jsou procesy, pro které jsou definovány $p_1 \circ p_2$ a $p_2 \circ p_3$. Pak $p_1 \circ (p_2 \circ p_3) = (p_1 \circ p_2) \circ p_3$

Proces se nazývá elementární, jestliže popisuje jednoduchý krok. Procesy jsou rozložitelné na konečné mnoho element. procesů

Definice 10

Proces $p: K \rightarrow \Sigma$ je elementární, jestliže $S_K = {}^o K \cup K^o$

Příklad 8



Tvrzení 8

- (1) $p: K \rightarrow \Sigma$ je elementární proces $\Leftrightarrow p({}^o K) [p(T_K)] > p(K^o)$ je krok
- (2) Jestliže $p: K \rightarrow \Sigma$ je elementární, pak $\forall t_1, t_2 \in T_K: t_1 \underline{c} t_2$

Definice 11

Proces $p: K \rightarrow \Sigma$ se nazývá prázdný, jestliže $T_K = \emptyset$.

Tvrzení 9

- (1) Každý prázdný proces je elementární
- (2) Je-li p' prázdný proces a je-li definováno $p \circ p'$ (nebo $p' \circ p$), pak $p = p \circ p'$ (nebo $p = p' \circ p$)

Theorem 7

Je-li $p: K \rightarrow \Sigma$ proces, pak existuje konečné mnoho nepráz. elementárních procesů p_1, p_2, \dots, p_n takových, že

$$p = p_1 \circ p_2 \circ \dots \circ p_n$$

Důkaz.

Existuje celé. číslo m ohraničující počet přechodů každého větvěnce množiny K . Je-li $m=0$, pak p je prázdný. Jestliže nejdelší větvěnci má m přechodů, pak p je rozložitelný na p' a p'' tak, že $p = p' \circ p''$, p' obsahuje $(m-1)$ přechodů a p'' je elementární neprázdný proces. Dle indukce.

3.5 Procesy a case grafy

Budeme hledat vztah mezi procesy a cestami case grafu

Lemma 3

Nechť Σ je bezkontaktní C/E systém. Proces $p: K \rightarrow \Sigma$ je elementární proces, právě když existuje hrana $v = (c_1, G, c_2)$ grafu Φ_Σ taková, že $p(c_1) = c_1$, $p(c_2) = c_2$ a $p(G) = G$.

Důkaz

Jestliže $p: K \rightarrow \Sigma$ je elementární proces, pak $p(c_1) [p(G)] p(c_2)$ je krokem Σ a $(p(c_1), p(G), p(c_2))$ je hranou grafu Φ_Σ . Naopak, je-li (a, G, c_2) hrana Φ_Σ , pak $a [G] c_2$. Necht' $K = (c_1 \cup c_2, G, F_\Sigma \cap (c_1 \cup c_2 \cup G)^2)$. Pak $id: K \rightarrow \Sigma$ je elementární proces.

Definice 12

Nechť Σ je bezkontaktní C/E systém.

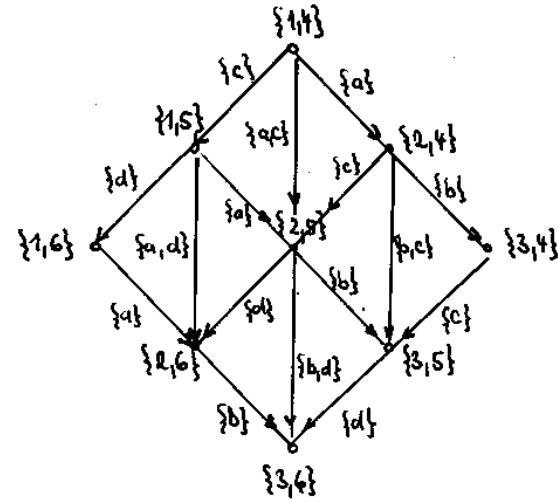
(1) Je-li v hrana grafu Φ_Σ , pak \underline{v} označuje proces odpovídající hraně v . \underline{v} se nazývá procesem hrany v ; v je hranou procesu \underline{v} .

(2) Necht' v_1, v_2, \dots, v_n jsou hrany a $w = v_1 v_2 \dots v_n$ je cesta v Φ_Σ . Pak $\underline{w} = \underline{v_1} \circ \underline{v_2} \circ \dots \circ \underline{v_n}$ se nazývá procesem cesty w ; w je cestou procesu \underline{w} .

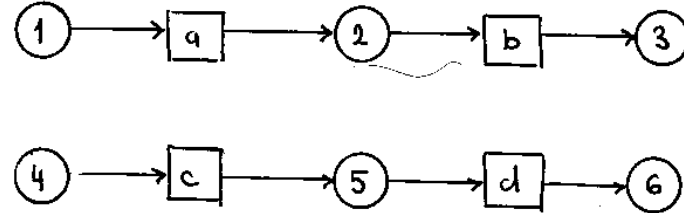
(3) Pro $v = (c_1, G, c_2)$ a $e \in G$ necht' $\underline{t}(v, e) = \underline{v}^{-1}(e)$ a $\underline{T}(v) = \{\underline{t}(v, e) \mid e \in G\}$

$\underline{t}(v, e)$ a $\underline{T}(v)$ označují jednoduchý přechod, resp. množinu přechodů odpovídající vrškové síti.

Příklad 11



$p =$



Proces a (cest) case grafu:
Každá z 13 cest v grafu z {1,4} do {3,6} odpovídá procesu p

Definice 13

35

Nechť Σ je C/E systém, $c_1, c_2, c_3 \in C_\Sigma$ a $G_1, G_2 \in E_\Sigma$.

- (1) Jestliže $u_1 = c_1 G_1 c_2$, $u_2 = c_2 G_2 c_3$ a $v = c_1 (G_1 \cup G_2) c_3$ jsou hrany case grafu Φ_Σ , pak cesta $u_1 u_2$ se nazývá dekompozice cesty v a v se nazývá unifikací cesty $u_1 u_2$.
- (2) Necht' w, w' jsou cesty v Φ_Σ . w' se nazývá permutací cesty w , jestliže existuje cesta u_1, \dots, u_n takové, že $w = u_1 u_2 u_3$, $w' = u_1 u_4 u_3$ a u_4 je dekompozicí neboo unifikací cesty u_2 .
- (3) Necht' w_1, w_2, \dots, w_n jsou cesty v Φ_Σ . (w_1, \dots, w_n) se nazývá permutační posloupností, jestliže pro $i = 1, \dots, n-1$ je cesta w_{i+1} permutací cesty w_i .

Tvrzení 10

Nechť Σ je bezkontaktní C/E systém, $c_1, c_2, c_3 \in C_\Sigma$ a necht' $G_1, G_2 \in E_\Sigma$ jsou disjunktní a nepřesekávané.

- (1) Jestliže $v = c_1 (G_1 \cup G_2) c_2$ je hrana v Φ_Σ , pak existuje dekompozice cesty v ve tvaru $c_1 G_1 c_2 G_2 c_2$ pro nějaké $c \in C_\Sigma$.
- (2) Necht' $u_1 = c_1 G_1 c_3$ a $u_2 = c_2 G_2 c_2$ jsou hrany grafu Φ_Σ a necht' $u_1 \circ u_2 = k \rightarrow \Sigma$.

Pak

$$\forall t_1, t_2 \in T_k : t_1 \leq t_2 \iff c_1 (G_1 \cup G_2) c_2 \text{ je hrana v } \Phi_\Sigma$$

D (od 2)

$\forall t_1, t_2 \in T_k : t_1 \leq t_2$ právě když existuje elem. proces $p: k \rightarrow \Sigma$, pro který $p \circ k = c_1$, $p(k \circ) = c_2$ a $p(T_k) = G_1 \cup G_2$ právě když $c_1 (G_1 \cup G_2) c_2$ je hrana v Φ_Σ (viz Lemma 3)

36

Teorem 8

Dvě cesty w, w' v grafu Φ_Σ přísluší stejnému procesu právě když existuje permutační posloupnost z w do w' .

4. Vlastnosti systému

37

4.1. Synchronizační vzdálenosti

Důležitou vlastností systému je stupeň závislosti mezi výskyty jeho událostí t.j. jak je výskyt jedné události závislý na výskytu jiné události.

Např. v příkladu „změna ročních období“ události „koniec zimy“ a „začátek jara“ silně suděny - silně synchronizovány; říkáme, že koincidují.

Jiné případy závislosti 2 událostí:

- události alternují
- události jsou paralelní (concurrent)
- události se mohou vyskytnout v lib. pořadí
- události jsou zcela nezávislé

V této kapitole zavedeme míru synchronizace událostí.

Budeme uvažovat, obecně, dvojici množin událostí: $E_1, E_2 \subseteq E_X$.

Pozorně, jak často se události mn. E_1 a události mn. E_2 objevují v každém procesus systému. Absolutní rozdíl jejich vzájemných výskytů nazýváme variancí E_1 a E_2 v procesu p . Supremum variancí ve všech procesech systému se nazývá synchronizační vzdálenost $\sigma(E_1, E_2)$ množin E_1 a E_2 .

Dá se ukázat, že σ má vlastnost metriky. Tedy, synchr. vzdálenost je prostředkem pro získání kvantitativní informace o dynamickém chování systému, aniž je třeba zavádět pojem „čas“.

38
Zavedeme nejprve „míru μ pro počítání událostí“. Uvažujme $E_1, E_2 \subseteq E_X$ procesy $p: K \rightarrow \Sigma$ a počítáme prvky $p^{-1}(E_1)$ a $p^{-1}(E_2)$. Protože nás zajímají největší rozdíly výskytů událostí z E_1 a E_2 , spočítáme pro všechny S-řezy D_1, D_2 sítě K prvky $p^{-1}(E_1)$ a $p^{-1}(E_2)$ mezi D_1 a D_2 . K tomu účelu, pro všechny $M \subseteq T_K$ položíme

$$\mu(M, D_1, D_2) = |M \cap D_1^+ \cap D_2^-| \text{ je-li } D_1 < D_2 \text{ a}$$
$$\mu(M, D_1, D_2) = |M \cap D_1^- \cap D_2^+| \text{ je-li } D_2 < D_1$$

Problém je však v tom, že S-řezy mohou být nesrovnatelné. Proto:

Definice 1

Nechť K je výskytová síť a D_1, D_2 její dva S-řezy.

Nechť $M \subseteq T_K$ je konečná množina. Pak nechť

$$\mu(M, D_1, D_2) = |M \cap D_1^+ \cap D_2^-| - |M \cap D_1^- \cap D_2^+|$$

Pro takto zavedené μ platí: $\mu(M, D_1, D_2) = -\mu(M, D_2, D_1)$

Definice 2

Nechť Σ je bezkontaktní C/E systém. Označme

Π_Σ množinu všech jeho procesů. Dále nechť $p: K \rightarrow \Sigma \in \Pi_\Sigma$ a $E_1, E_2 \subseteq E_X$. Pak

$$V(p, E_1, E_2) = \max \{ \mu(p^{-1}(E_1), D_1, D_2) - \mu(p^{-1}(E_2), D_1, D_2) \mid D_1, D_2 \in \mathcal{S}(K) \}$$

se nazývá variancí mn. událostí E_1 a E_2 v procesu p .

Tvrzení 1

$$\forall p \in \Pi_\Sigma \quad \forall E_1, E_2 \subseteq E_X : V(p, E_1, E_2) = V(p, E_2, E_1)$$

Definice 3

Nechť Σ je C/E systém (bezkontaktní) a necht' $E_1, E_2 \subseteq E$.

$$\sigma(E_1, E_2) = \sup \{v(p, E_1, E_2) \mid p \in \Pi_\Sigma\}$$

se nazývá synchronizační vzdálenost mn. událostí E_1 a E_2 .

4.1.1. Grafická reprezentace synchronizační vzdálenosti

Pro reprezentaci s. vzdálenosti množin událostí E_1 a E_2 zavedeme nové místo $s: s^+ = E_1$ a $s^- = E_2$. V každém případě c systému Σ obsahuje s určitý počet značek (dostatečně mnoho, aby nebránilo provedení událostí). Kdykoli se provede událost $\in E_1$, resp. E_2 , počet značek se zvětší, resp. zmenší o 1. Pak $\sigma(E_1, E_2)$ supremum přes největší změny počtu značek v místě s při provedení sítě.

Graficky jsou s a nové hrany sítě kresleny čárkovaně. Místo s má označení " $\sigma = x$ ", jestliže $\sigma(E_1, E_2) = x$

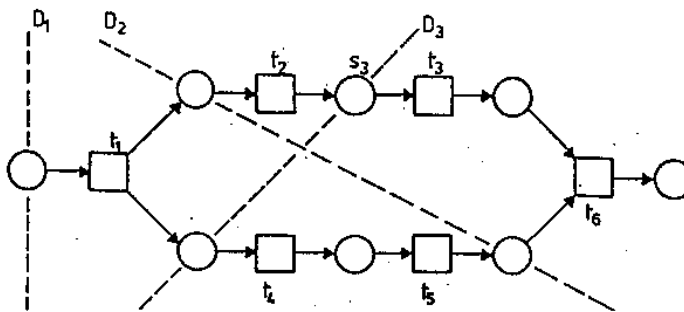
Příklad grafické reprezentace syn. vzdálenosti mn. událostí C/E systému z př. 3 je znázorněn v příkladu 4.

Pozn.

Grafickou reprezentací synch. vzdálenosti v C/E síti získáme P/T síť, ve které nové místa s mají neom. kapacitu: $K(s) = \omega$

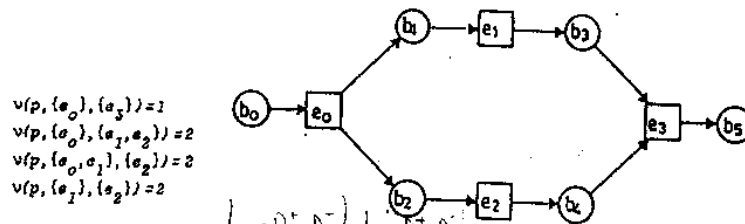
Maximální počet místy s událostí $\in E_1$ „až do“ událostí $\in E_2$.

Příklad 1 (výpočet μ)



$$\begin{aligned} v(t_1, D_1, D_2) &= 1 & v(t_2, t_3, D_3, D_2) &= -1 \\ v(t_4, t_5, D_2, D_3) &= -2 & v(t_3, t_4, D_3, D_2) &= 0 \\ v(t_2, t_3, D_2, D_3) &= 1 & & \end{aligned}$$

Příklad 2 (variance mn. událostí)



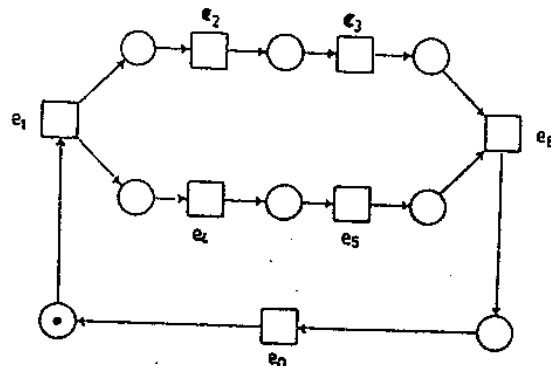
$$\begin{aligned} v(p, (e_0), (e_3)) &= 1 \\ v(p, (e_0), (e_1, e_2)) &= 2 \\ v(p, (e_0, e_1), (e_2)) &= 2 \\ v(p, (e_1), (e_2)) &= 2 \end{aligned}$$

$$D_1 = \{b_1, b_4\} \quad D_2 = \{b_2, b_3\}$$

$$v(p, (e_1, e_2)) = \frac{|e_1 \cap D_1|}{|e_1 \cap D_1| + |e_2 \cap D_1|} - \frac{|e_1 \cap D_2|}{|e_1 \cap D_2| + |e_2 \cap D_2|} = \frac{1-0}{1+0} - \frac{0-1}{0+1} = 1 - (-1) = 2$$

-222, max / min
místy s
úřadky, ale
přesně 2
1. úroveň

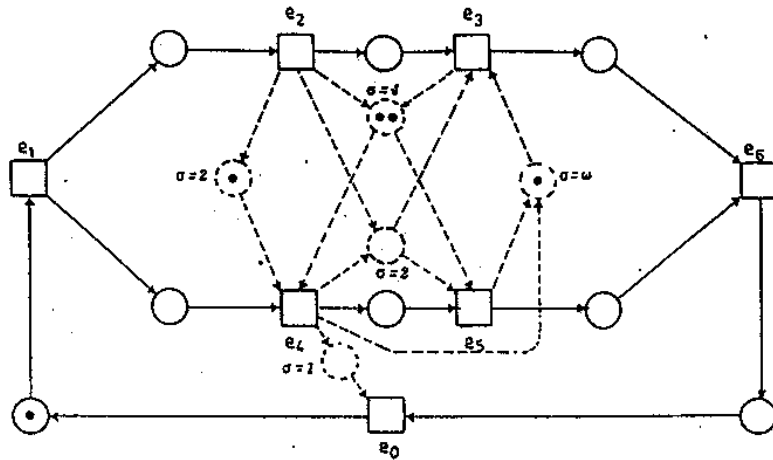
Příklad 3 (synchronizační vzdálenost)



$$\begin{aligned} \sigma(e_1, (s_1)) &= 1 \\ \sigma(e_2, (s_2)) &= 2 \\ \sigma(e_2, s_3, (s_4, s_5)) &= 4 \\ \sigma(e_2, s_4, (s_3, s_5)) &= 2 \\ \sigma(e_4, s_6, (s_3)) &= \omega \end{aligned}$$

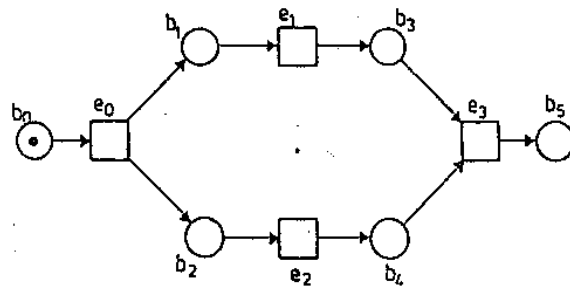
(*)

Příklad 4

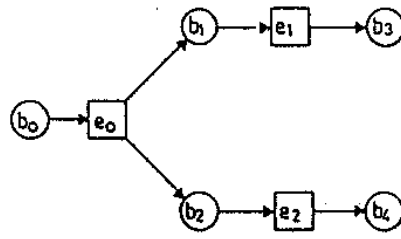


Graphical representation of the synchronic distances given in Fig. 42 from ex. 3.

Příklad 5



C/E-system I



process p of I

A C/E-system in which the two events e_1 and e_2 occur concurrently ($\sigma(e_1, e_2) = 2$)

4.1.2. Některé speciální synchronizační vzdálenosti

Zřejmě, je-li $E_1 = E_2$, pak $\sigma(E_1, E_2) = 0$ a naopak, je-li $\sigma(E_1, E_2) = 0$, pak $E_1 = E_2$. Speciálně $e_1 = e_2 \Leftrightarrow \sigma(e_1, e_2) = 0$ události e_1 a e_2 koincidují.

Uvažujme nyní dva C/E systémy v příkladech 5 a 6. Události e_1 a e_2 jsou v I paralelní - nezávislé. Podle definice je $\sigma_I(e_1, e_2) = 2$.

V příkladu 6 je zaveden „řídící mechanismus“, který neumožňuje, aby e_1 a e_2 byly paralelní; mohou však proběhnout v lib. pořadí. $\tilde{p}_i^-(e_1) \wedge \tilde{p}_i^-(e_2)$, $i=1,2$ leží v jednom řetězci v procesech p_1 a p_2 systému I, kdežto v I jsou v relaci co . Konceptuální rozdíl mezi I a I' je vyjádřen právě synchr. vzdáleností e_1 a e_2 . V příkladě 6 je $\sigma(e_1, e_2) = 1$

V příkladě 7 mají odpovídající dvojice události systému I₁ a I₂ stejnou synchr. vzdálenost:

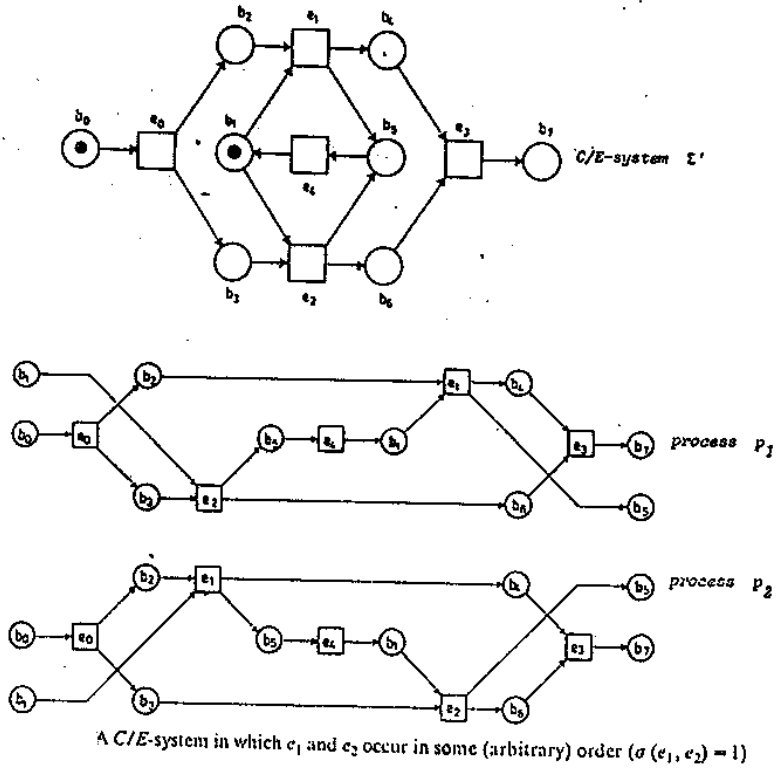
$\sigma(e_1, e_2) = \sigma(e_1, e_4) = \omega$, $\sigma(e_1, e_3) = \sigma(e_2, e_4) = 1$ v obou systémech.

Intuitivně však cítíme, že I₂ je více synchronizováno. To je vyjádřitelné synchr. vzdáleností množin $\{e_1, e_2\}$ a $\{e_3, e_4\}$:

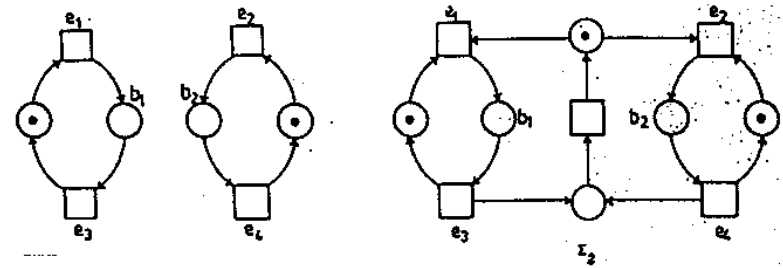
$\sigma(\{e_1, e_2\}, \{e_3, e_4\}) = 2$ v I₁, ale

$\sigma(\{e_1, e_2\}, \{e_3, e_4\}) = 1$ v I₂

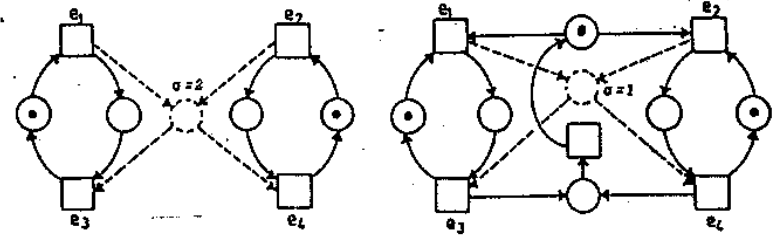
Príklad 6



Príklad 7

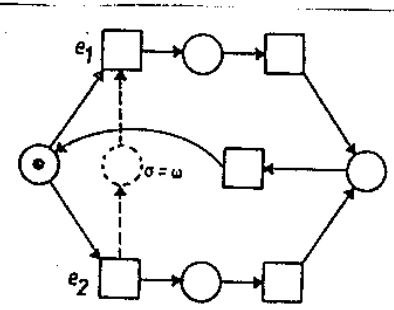


Two C/E-systems Σ_1, Σ_2 with $\sigma_{\Sigma_i}(e, e') = \sigma_{\Sigma_j}(e, e')$ for $e, e' \in \{e_1, \dots, e_4\}$



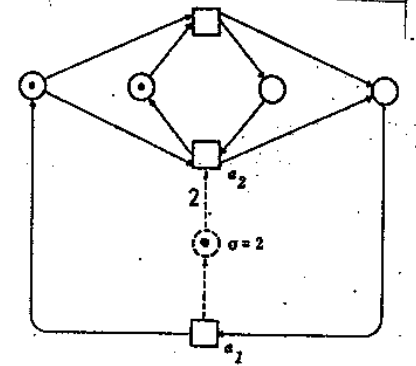
Other synchronic distances in the systems of Fig. 46 Σ_1, Σ_2

Príklad 8



An infinite synchronic distance because of a conflict

(a)



A weighted synchronic distance

(b)

V příkladu 8a. jsou události a_1 a a_2 neomezeně často v konfliktu; jejich synch. vzdálenost je nekonečná:

$$\sigma(a_1, a_2) = \omega$$

V příkladu 8b je také $\sigma(a_1, a_2) = \omega$. Na rozdíl od (a) jsou však výskyty a_1 a a_2 závislé na sobě; a_1 se provádí 2x častěji než a_2 . K vyjádření tohoto rozdílu je třeba zobecnění syn. vzdálenosti na tzv. váženou synch. vzdálenost (v graf. reprezentaci mají přidáné hrany celočíselnou váhu).

4.2. Některé kvantitativní vlastnosti synch. vzdálenosti

Theorem 1

Nechť Σ je bezkontaktní C/E systém a necht' $E_1, E_2, E_3 \in E_\Sigma$. Pak

$$\begin{aligned} \text{(i)} \quad & \sigma(E_1, E_2) = 0 \iff E_1 = E_2 \\ \text{(ii)} \quad & \sigma(E_1, E_2) = \sigma(E_2, E_1) \\ \text{(iii)} \quad & \sigma(E_1, E_2) \leq \sigma(E_1, E_3) + \sigma(E_3, E_2) \end{aligned}$$

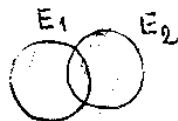
Pozn. Synch. vzdálenost je tedy metrikou na množinách událostí

Theorem 2

Nechť Σ je bezkontaktní C/E systém a $E_1, E_2 \in E_\Sigma$.

Pak

$$\sigma(E_1, E_2) = \sigma(E_1 \setminus E_2, E_2 \setminus E_1)$$



46
4.3. Synch. vzdálenosti v sekvencích systémů

Definice 4

C/E systém Σ se nazývá stavový stroj (state machine), jestliže

$$\begin{aligned} \text{(1)} \quad & \forall e \in E_\Sigma : |e| = |e'| = 1 \\ \text{(2)} \quad & \forall c \in C_\Sigma : |c| = 1 \end{aligned}$$

Theorem 3

Nechť Σ je stavový stroj a necht' $a_1, a_2 \in E_\Sigma$.

Pak

$$\sigma(a_1, a_2) \in \{0, 1, \omega\}$$

Důkaz

Každý proces systému Σ je tvořen řetězcem tvaru



Předpokládáme, že existuje proces $p: K \rightarrow \Sigma$ se dvěma přechody $t_1, t_2 \in T_K$ takovými, že pro $i=1$ nebo $i=2$

$$\begin{aligned} p(t_1) = p(t_2) = c_i \quad \text{a} \\ \forall t \in t_1 \cap t_2 : p(t) \neq c_i \end{aligned}$$

Pak pro $p_1, \dots, p_n (t_1 \cap t_2)$ je $p_n = \underbrace{p_1 \circ \dots \circ p_1}_{n\text{-krát}}$ také proces

a $\forall (p_n, \{c_1\}, \{c_2\}) \geq n$. Tedy $\sigma(a_1, a_2) = \omega$.

Jinak je pro všechny procesy $p : \forall (p, a_1, a_2) \leq 1$ a tedy $\sigma(a_1, a_2) \leq 1$.

4.4. Synchron. vzdálenost v cyklických systémech

Definice 5

Nechť Σ je bezkontaktní C/E systém, $E_1, E_2 \subseteq E_\Sigma$ a nechť $p \in \Pi_\Sigma$. Definujeme

$$v'(p, E_1, E_2) = \|p'(E_1) - p'(E_2)\| \text{ a}$$

$$\sigma'(E_1, E_2) = \sup \{v'(p, E_1, E_2) \mid p \in \Pi_\Sigma\}$$

Tvrzení 1

Pro lib. C/E Σ a $E_1, E_2 \subseteq E_\Sigma$ platí:

$$\sigma'(E_1, E_2) \leq \sigma(E_1, E_2)$$

Napr. v příkladu 5 je $\sigma'(\{e_1\}, \{e_2\}) = 1 < \sigma(\{e_1\}, \{e_2\}) = 2$

Theorem 4

Nechť Σ je bezkontaktní a ^{cykl.} ~~trný~~ systém. Pak pro všechny $E_1, E_2 \subseteq E_\Sigma$ je

$$\sigma'(E_1, E_2) = \sigma(E_1, E_2)$$

Důkaz:

Konstruovat formule vtr. logiky a vyhodnocovat jejich pravd. hodnoty

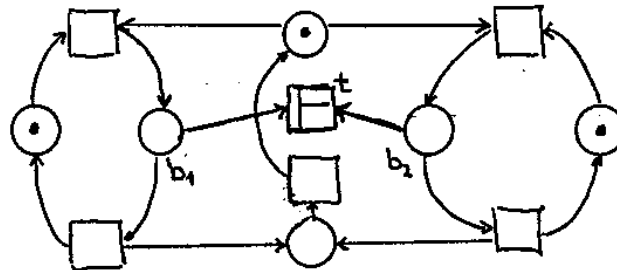
4.5. Fakta (facts)

S využitím podmínek C/E systému je možno konstruovat formule výrokové logiky. Tyto formule budou pravdivé, či nepravdivé v závislosti na tom, ve kterém případě se systém nachází. Zvláštní zájem zasluží "tautologie" (kontradiktce), které popisují invariantní vlastnosti systému. Ukážeme, jak lze reprezentaci a vyhodnocení těchto formulí začlenit do "síťového kalkulu".

Uvažujme C/E systém Σ_1 z příkladu 7. Přidejme navíc požadavek, aby podmínky b_1 a b_2 nikdy neplatily současně. Toho lze dosáhnout konstrukcí systému Σ_2 v téže příkladě. Tato nová vlastnost systému může být vyjádřena zavedením nového přechodu t takového, že

$$t = \{b_1, b_2\}, t' = \emptyset$$

který není proveditelný v žádném případě systému Σ_2



Nejprve budeme studovat vztahy mezi formulami obsahujícími podmínky (např. $\neg(b_1 \wedge b_2)$) a prováděním událostí. K tomu účelu uvažujme b jako prvotní (atomickou) formuli, která je pravdivá v daném případě c právě když b patří do c . Pak můžeme

Definice 6

Necht Σ je C/E systém.

(1) Množina A_Σ formulí (vyrokové logiky) nad B_Σ je nejmenší množina, pro kterou

$$(a) B_\Sigma \subseteq A_\Sigma$$

$$(b) a_1, a_2 \in A_\Sigma \Rightarrow (a_1 \wedge a_2) \in A_\Sigma, (a_1 \vee a_2) \in A_\Sigma, \\ (a_1 \rightarrow a_2) \in A_\Sigma, (\neg a_1) \in A_\Sigma$$

(2) V každém $c \in C_\Sigma$ přísluší každé formulí $a \in A_\Sigma$ hodnota $\hat{c}(a)$ definovaná valuací $\hat{c}: A_\Sigma \rightarrow \{0, 1\}$:

$$b \mapsto 1, \text{ jestliže } b \in c$$

$$b \mapsto 0, \text{ jestliže } b \notin c$$

$$(a_1 \wedge a_2) \mapsto \min(\hat{c}(a_1), \hat{c}(a_2))$$

$$(a_1 \vee a_2) \mapsto \max(\hat{c}(a_1), \hat{c}(a_2))$$

$$(a_1 \rightarrow a_2) \mapsto \hat{c}(\neg a_1 \vee a_2)$$

$$(\neg a_1) \mapsto 1 - \hat{c}(a_1)$$

(3) Dvě formulí $a_1, a_2 \in A_\Sigma$ jsou ekvivalentní v Σ , jestliže pro vš. $c \in C_\Sigma$: $\hat{c}(a_1) = \hat{c}(a_2)$

Nyní ke každé udlosti $c \in E_\Sigma$ přiřadíme formulí $a(c)$ tak, že pro vš případy c platí: $a(c)$ platí právě když c není c -proveditelná.

Definice 7

Necht Σ je konečný C/E systém a necht $a \in E_\Sigma$.

Necht $\hat{c} = \{b_1, b_2, \dots, b_n\}$, $\hat{c}' = \{b'_1, b'_2, \dots, b'_m\}$. Pak

$$a(\hat{c}) : (b_1 \wedge b_2 \wedge \dots \wedge b_n) \rightarrow (b'_1 \vee \dots \vee b'_m)$$

Je-li $\hat{c} = \emptyset$, pak $a(\hat{c}) : (b'_1 \vee \dots \vee b'_m)$, je-li $\hat{c}' = \emptyset$, pak $a(\hat{c}) : \neg(b_1 \wedge b_2 \wedge \dots \wedge b_n)$

Lemma 1

Necht Σ je konečný C/E systém. Pak pro každé $c \in C_\Sigma$ platí v c právě když c není c -proveditelná, $c \in E$

Důkaz

$$\hat{c}(a(c)) = 1 \Leftrightarrow \exists b \in c \text{ kde } \hat{c}(b) = 0 \text{ nebo } \exists b' \in c', \hat{c}(b') = 1$$

$$\Leftrightarrow \exists b \in c \text{ a } b \notin c \text{ nebo } \exists b' \in c' \text{ a } b' \in c \Leftrightarrow c \text{ není } c\text{-proveditelná}$$

Ukázali jsme, jak spojit formulí s udlostmi systému. Teď uvažujme, jak reprezentovat lib. pravd. formulí sestavenou z podmínek systému.

K tomu účelu obohatíme C/E systém o nové přechody, které nejsou proveditelné v žádném případě systému („dead“ přech. Proto neaktivní chování systému. S každým novým přechodem spojíme formulí $a(t)$, stejně jako pro udlosti. $a(t)$ pak platí v systému Σ (platí pro každý jeho případ). Takto je možné reprezentovat všechny platné formulí pro Σ určitým počtem „mrtvých“ přechodů. Tyto přechody nazýváme fakta.

Definice 8

Necht Σ je C/E systém.

(1) Formulí $a \in A_\Sigma$ se nazývá platnou v Σ , jestliže

$$\forall c \in C_\Sigma : \hat{c}(a) = 1$$

(2) Pro $B_1, B_2 \in B_\Sigma$ necht $t = (B_1, B_2)$ je nový přechod:

$$*t = B_1 \quad \text{a} \quad t^* = B_2$$

Přechod t se nazývá faktem systému Σ , jestliže t není proveditelný pro žádné $c \in C_\Sigma$

V grafické reprezentaci je fakt t označen přechodem \square (F - False).

Pro t je $a(t)$ definována jako pro a : např.
 jestliže $t = \{b_1, \dots, b_n\}$, $t' = \{b'_1, \dots, b'_m\}$ pak
 $a(t) = (b_1 \wedge b_2 \wedge \dots \wedge b_n) \rightarrow (b'_1 \vee b'_2 \vee \dots \vee b'_m)$

Theorem 5

Nechť Σ je konečný CE systém a necht' $a \in A_\Sigma$.
 Formule a je platná v Σ právě když existují fakta
 t_1, t_2, \dots, t_k taková, že a je logicky ekvivalentní formuli

$$a(t_1) \wedge a(t_2) \wedge \dots \wedge a(t_k)$$

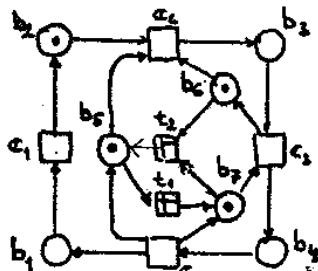
Důkaz: (s využitím KNF)

Problém: Jak reprezentovat formule, které platí jen
 pro některé případy systému

Pro $c \in C_\Sigma$ necht' c' označuje konjunktci všech podmínek
 trojicích c . Pak a platí pro případy c_1, \dots, c_k
 lze popsat formulí

$$(c'_1 \wedge c'_2 \wedge \dots \wedge c'_k) \rightarrow a$$

Příklad 3 (Rozšíření systému z Pří. 2/1 o dvě fakta)



4124 3354

BARVENÉ PETRIHO SÍŤE

CPN - Coloured Petri Nets

Kurt Jensen (1981) - Aarhus - Dánsko

1. Úvod

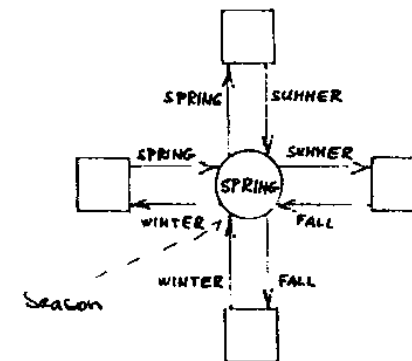
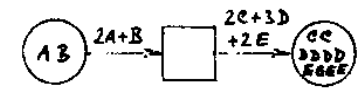
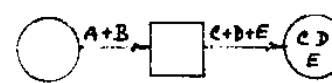
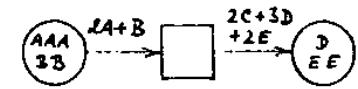
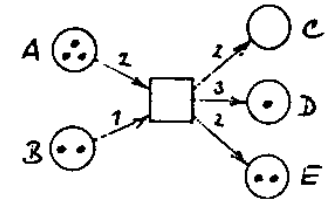
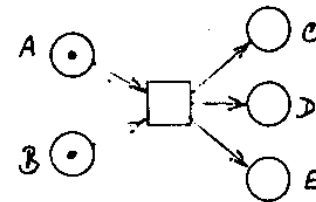
- Nevýhody klasických (P/T) Petriho sítí
- Charakteristika CPN, high-level PN
- CPN Design
- Aplikace

Monografie: Jensen K: Coloured Petri Nets, Vol. 1 - Basic concepts
Springer-Verlag 1982

2. Petriho síť s individualními značkami (tokens)

INDIVIDUAL TOKEN NETS

WITH CONSTANT ARROW LABELS



3. Neformální zavedení CPN

Uvažujme příklad popisu systému přidělování prostředků (zdrojů).

System je tvořen:

- 2 třídami procesů - procesy p, resp. q
- 3 typy zdrojů - R, S, T
- stavy procesů A, B, ..., E
- počátečním stavem

Vlastní činnost systému lze popsat P/T Petriho sítí:

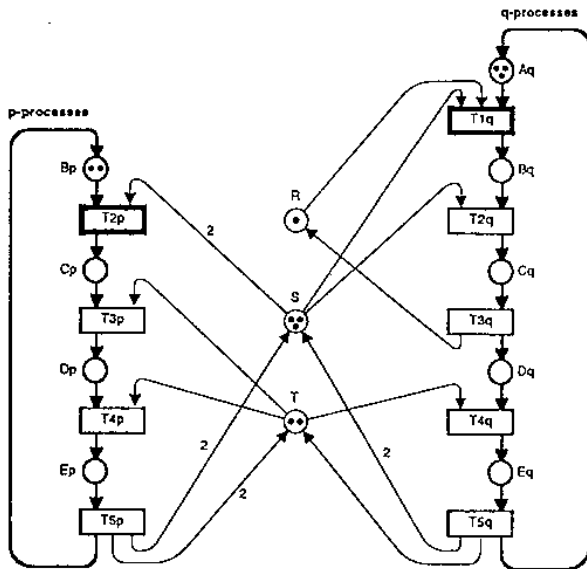


Fig. 1.3. PT-net describing the resource allocation system (initial marking M_0)

Nejprve 'sloučíme' popis chování podobný procesů p a q. Budeme registrovat, který přechod, 'alokacním cyklem' daný proces provádí.

Model ve tvaru CPN zahrnuje 2 složky:

1. grafickou část - graf Petriho sítě
2. popisy - inskripce

Inskripce, vyjádřené inskripčním jazykem, obsahují:

- Deklaraci množin barev (coloured sets), t.j. datových typů
- Popis barvy místa
- Popis hran
- Počáteční značení
- strážní podmínky přechodů
- Jména míst a přechodů

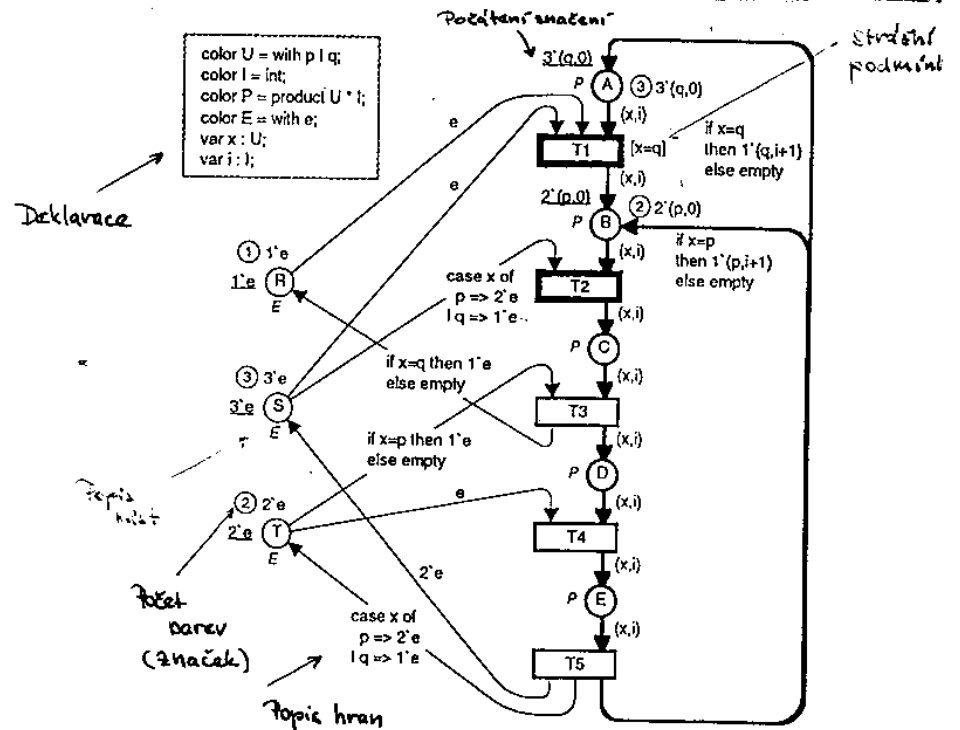


Fig. 1.7. CP-net describing the resource allocation system (initial marking M_0)

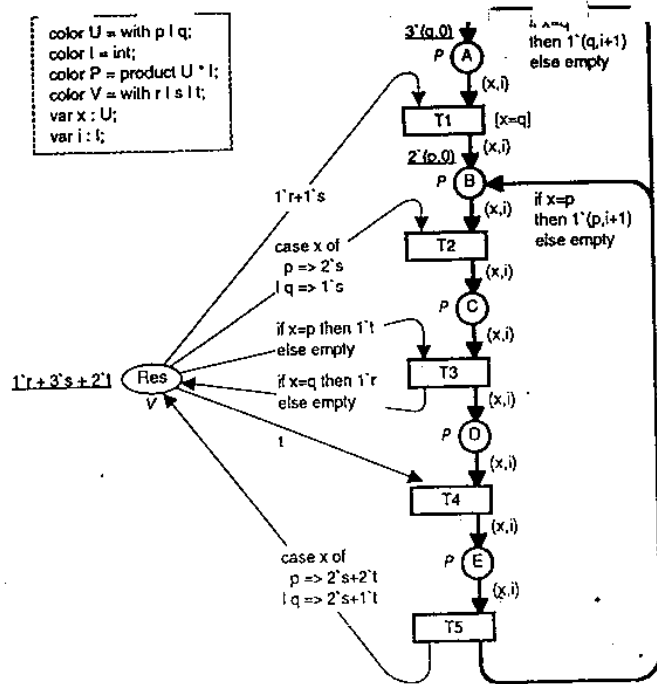


Fig. 1.11. A third CP-net describing the resource allocation system

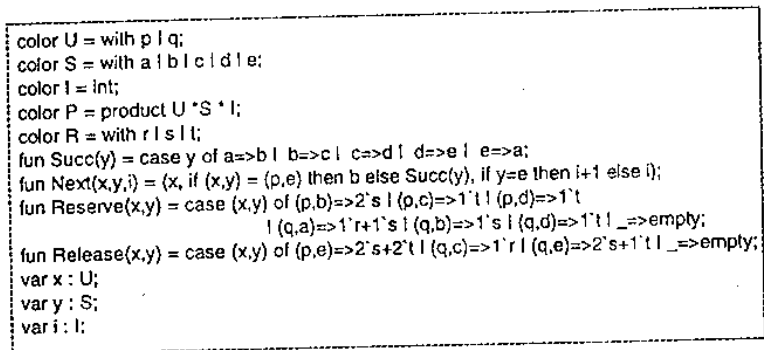


Fig. 1.12. A fourth CP-net describing the resource allocation system

DB je distribuovana do n miest (sites); každé miesto obsahuje kopii všetch dat, o ktorou se stará databázový manažér (DBM).

$$DBM = \{d_1, d_2, \dots, d_n\}$$

$$MES = \{(s,r) \mid s,r \in DBM \wedge s \neq r\} \quad s - \text{sender}, r - \text{receiver}$$

$$Mes(s) = \sum_{r \in DBM \setminus \{s\}} 1'(s,r)$$

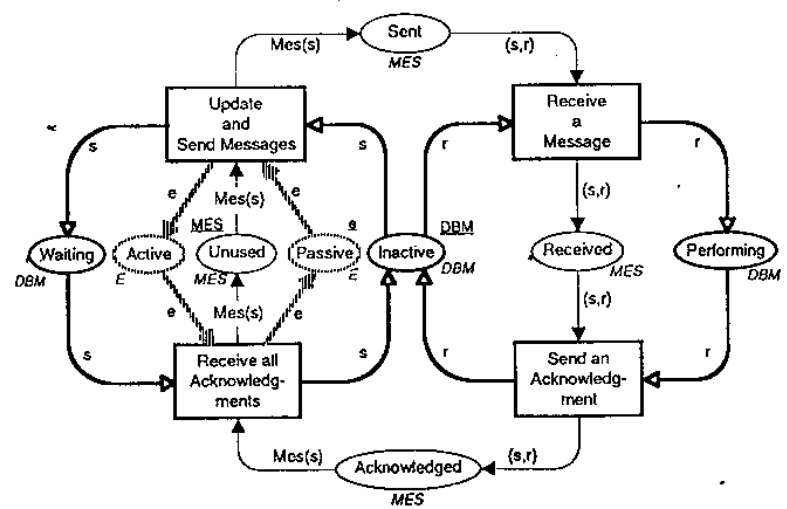
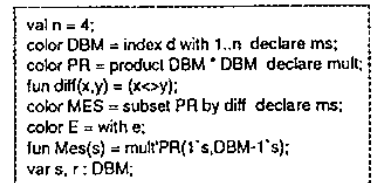
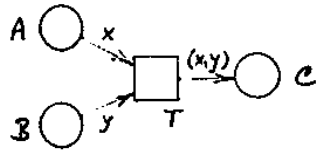
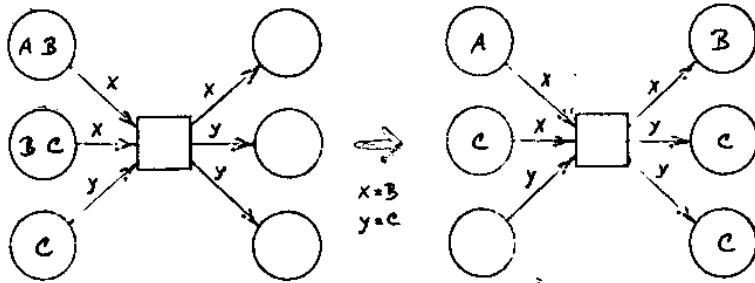


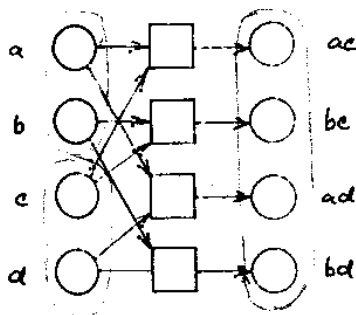
Fig. 1.13. CP-net describing the distributed data base

INDIVIDUAL TOKEN NETS

WITH VARIABLE ARROW LABELS



$TYPEOF(A) = \{a, b\}$
 $TYPEOF(B) = \{a, d\}$
 $TYPEOF(C) = \{a, b\} \times \{c, d\}$



COLORED PETRI NETS

TOKEN HAS A COLOR - INSTANCE OF DATA TYPE

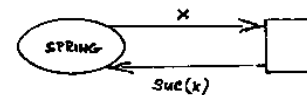
EXPRESSIONS OF ARCS - COMBINATION OF CONSTANTS, VARIABLES AND OPERATIONS

INSCRIPTION LANGUAGE - DECLARATIONS AND DEFINITIONS OF DATA TYPES, VARIABLES, OPERATIONS (FUNCTIONS), GUARDS.

Every expression on arc evaluates to multiset of colors.

Multiset constructor: $m_1c_1 + m_2c_2 + \dots + m_n c_n$
 m_1, m_2, \dots, m_n are constants, variables or functions which evaluates to positive integers,
 c_1, c_2, \dots, c_n are constants, variables or functions which evaluates to colors.

Examples: if $x=c$ then $3 \cdot D$ else $4 \cdot E + 5 \cdot F$
 $2 \cdot (x+y) + 3 \cdot 1$



$suc(SPRING) = SUMMER$
 $suc(SUMMER) = FALL$
 $suc(FALL) = WINTER$
 $suc(WINTER) = SPRING$

FORMÁLNÍ DEFINICE CPN

Multimnožiny

Definice 1

Multimnožina m nad množinou S je funkce m ,

$$m: S \rightarrow \mathbb{N}$$

$m(s)$ značí počet výskytů prvků s v multimnožině m .

Obvykle reprezentujeme multimnožinu m formální sumou:

$$\sum_{s \in S} m(s) \cdot s$$

Symbolem S_{MS} značíme množinu všech multimnožin nad S .
Jestliže $m(s) \neq 0$, pak říkáme, že s patří do m a píšeme $s \in m$.

Pro multimnožiny je definována operace sčítání,
skalární multiplikace, predikáty $=$, \leq , \geq , kardinalita $|m|$
a je-li $m_1 \leq m_2$ také rozdíl $m_2 - m_1$.

Struktura (nehierarchická) barvené Petriho sítě

Značení:

- prvky typu T (množina všech prvků T) - T
- typ proměnné v - $Type(v)$
- typ výrazu $expr$ - $Type(expr)$
- množina proměnných výrazů $expr$ - $Var(expr)$
- navázání množiny proměnných V - přiřazení každé $v \in V$ prvku $b(v) \in Type(v)$

Hodnota získána vyhodnocením
výrazu $expr$ při navázání b

$$expr \langle b \rangle$$

množina $\{true, false\}$ - \mathbb{B}

Je-li $Vars$ množina proměnných, pak $Type(Vars) = \{Type(v) \mid v \in Vars\}$

Definice 2

Nehierarchická barvená Petriho síť CPN je n -tice

$$CPN = (\Sigma, P, T, A, N, C, G, E, I), \text{ kde}$$

- (1) Σ je množina neprázdných typů nazývaných množinami barev
- (2) P je konečná množina míst
- (3) T je konečná množina přechodů
- (4) A je konečná množina hran, pro kterou $P \cap T = P \cap A = T \cap A = \emptyset$
- (5) N je uzlová funkce (node function):
 $N: A \rightarrow P \times T \cup T \times P$
- (6) C je funkce barev (colour function)
 $C: P \rightarrow \Sigma$
- (7) G je funkce strážních podmínek (guard function)
 $G: T \rightarrow \text{EXPR}$ (EXPR - množina výrazů):
 $\forall t \in T: (Type(G(t)) = \mathbb{B} \wedge Type(Var(G(t))) \subseteq \Sigma)$
- (8) E je funkce hranových výrazů (arc expression function)
 $E: A \rightarrow \text{EXPR}$ ($p(a)$ je místo v $N(a)$)
 $\forall a \in A: (Type(E(a)) = C(p(a))_{MS} \wedge Type(Var(E(a))) \subseteq \Sigma)$
- (9) I je inicializační funkce
 $I: P \rightarrow C \text{EXPR}$ (EXPR - množina uzavřených výrazů)
 $\forall p \in P: (Type(I(p)) = C(p)_{MS})$

HIERARCHIES IN PETRI NETS.

(ACCORDING TO KUBER, JENSEN, SHAPIRO)

WHY? MODELLING AND DESIGN OF LARGE SYSTEMS
IN SINGLE LEVEL IS IMPOSSIBLE

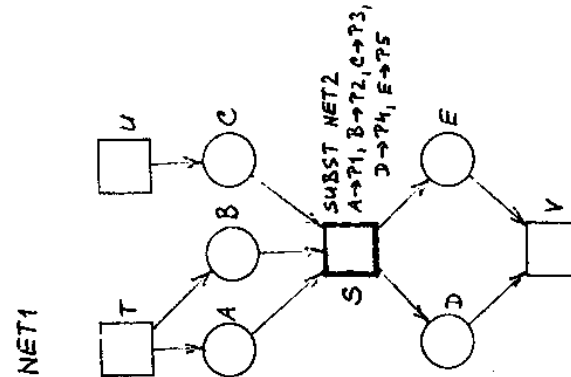
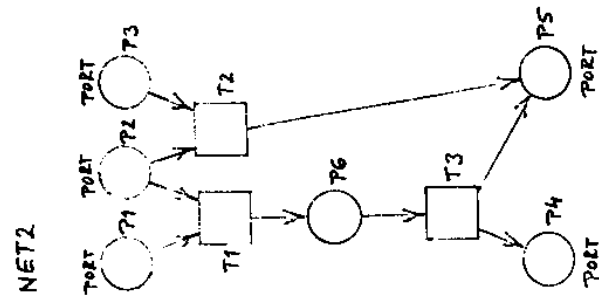
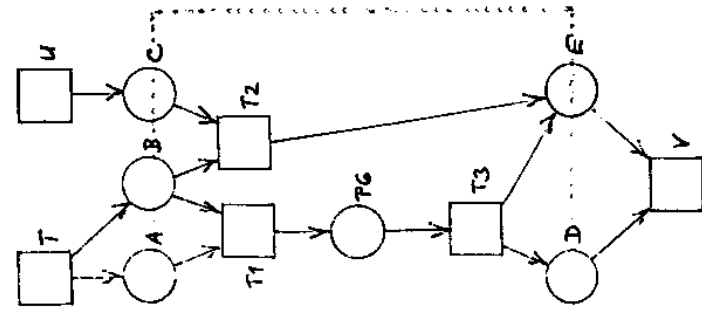
HIERARCHIES IN PN'S :

- SUBSTITUTION TRANSITIONS
- SUBSTITUTION PLACES
- INVOCATION TRANSITIONS
- FUSION SETS

SUBSTITUTION : NODE REPRESENTS SUBNET

INVOCATION : WHEN INVOCATION TRANSITION FIRES,
NEW COPY OF INVOCATED NET IS CREATED
AND RUNS UNTIL EXIT PLACE IS MARKED.

SUBSTITUTION TRANSITION

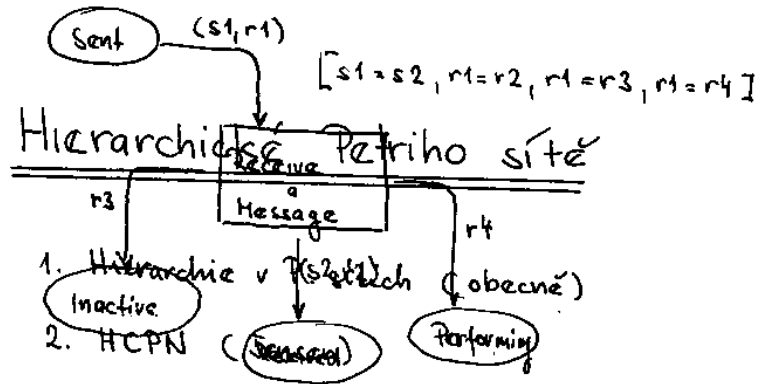


- (i) $\Sigma = \{U, I, P, E\}$.
- (ii) $P = \{A, B, C, D, E, R, S, T\}$.
- (iii) $T = \{T1, T2, T3, T4, T5\}$.
- (iv) $A = \{AtoT1, T1toB, BtoT2, T2toC, CtoT3, T3toD, DtoT4, T4toE, EtoT5, T5toA, T5toB, RtoT1, StoT1, StoT2, TtoT3, TtoT4, T3toR, T5toS, T5toT\}$.
- (v) $N(a) = (\text{SOURCE}, \text{DEST})$ if a is in the form SOURCEtoDEST .
- (vi) $C(p) = \begin{cases} P & \text{if } p \in \{A, B, C, D, E\} \\ E & \text{otherwise.} \end{cases}$
- (vii) $G(t) = \begin{cases} x=q & \text{if } t=T1 \\ \text{true} & \text{otherwise.} \end{cases}$
- viii) $E(a) = \begin{cases} e & \text{if } a \in \{RtoT1, StoT1, TtoT4\} \\ 2^e & \text{if } a = T5toS \\ \text{case } x \text{ of } p \Rightarrow 2^e \mid q \Rightarrow 1^e & \text{if } a \in \{StoT2, T5toT\} \\ \text{if } x=q \text{ then } 1^e \text{ else empty} & \text{if } a = T3toR \\ \text{if } x=p \text{ then } 1^e \text{ else empty} & \text{if } a = TtoT3 \\ \text{if } x=q \text{ then } 1^e(q,i+1) \text{ else empty} & \text{if } a = T5toA \\ \text{if } x=p \text{ then } 1^e(p,i+1) \text{ else empty} & \text{if } a = T5toB \\ (x,i) & \text{otherwise.} \end{cases}$
- x) $I(p) = \begin{cases} 3^e(q,0) & \text{if } p=A \\ 2^e(p,0) & \text{if } p=B \\ 1^e & \text{if } p=R \\ 3^e & \text{if } p=S \\ 2^e & \text{if } p=T \\ \emptyset & \text{otherwise.} \end{cases}$

Fig. 2.2. The CP-net from Fig. 1.7 represented as a many-tuple

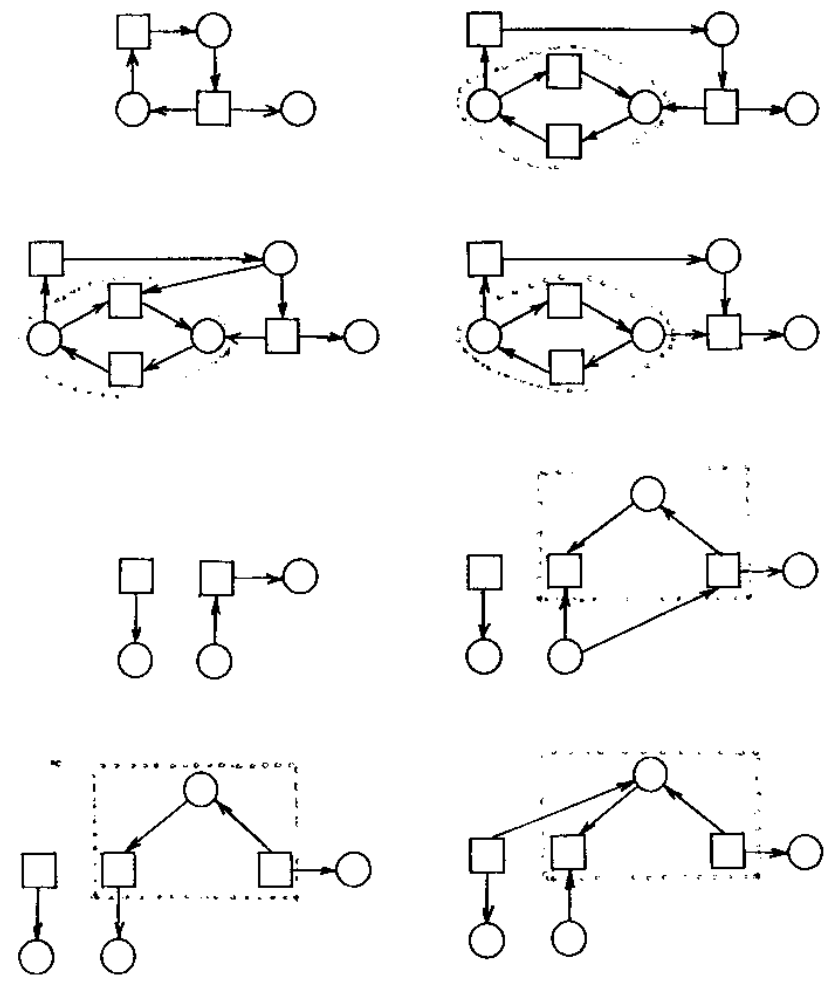
R. PAULIUSSEI, MEDICAL INSTITUTE
Necht $X = P \cup T$

- Pracovní funkce:
- $p: A \rightarrow P$ - místo $N(a)$
- $t: A \rightarrow T$ - přechod $N(a)$
- $s: A \rightarrow X$ - source : $s(a) = x_1$ jestliže $N(a) = (x_1, x_2)$
- $d: A \rightarrow X$ - destination : $d(a) = x_2$ " "
- $A: P \times T \cup T \times P \rightarrow A_s$ - spojující hrany : $A(x_1, x_2) = \{a \in A \mid N(a) = (x_1, x_2)\}$
- nebo $A: X \rightarrow X_s$ - incidentní hrany
- $A(x) = \{a \in A \mid \exists x' \in X : (N(a) = (x, x') \vee N(a) = (x', x))\}$
- $in: X \rightarrow X_s$ - vstupní uzly
- $in(x) = \{x' \in X \mid \exists a \in A : N(a) = (x', x)\}$
- $Out: X \rightarrow X_e$ - výstupní uzly
- $Out(x) = \{x' \in X \mid \exists a \in A : N(a) = (x, x')\}$
- $X: X \rightarrow X_s$ - okružní uzly
- $X(x) = \{x' \in X \mid \exists a \in A : (N(a) = (x, x') \vee N(a) = (x', x))\}$

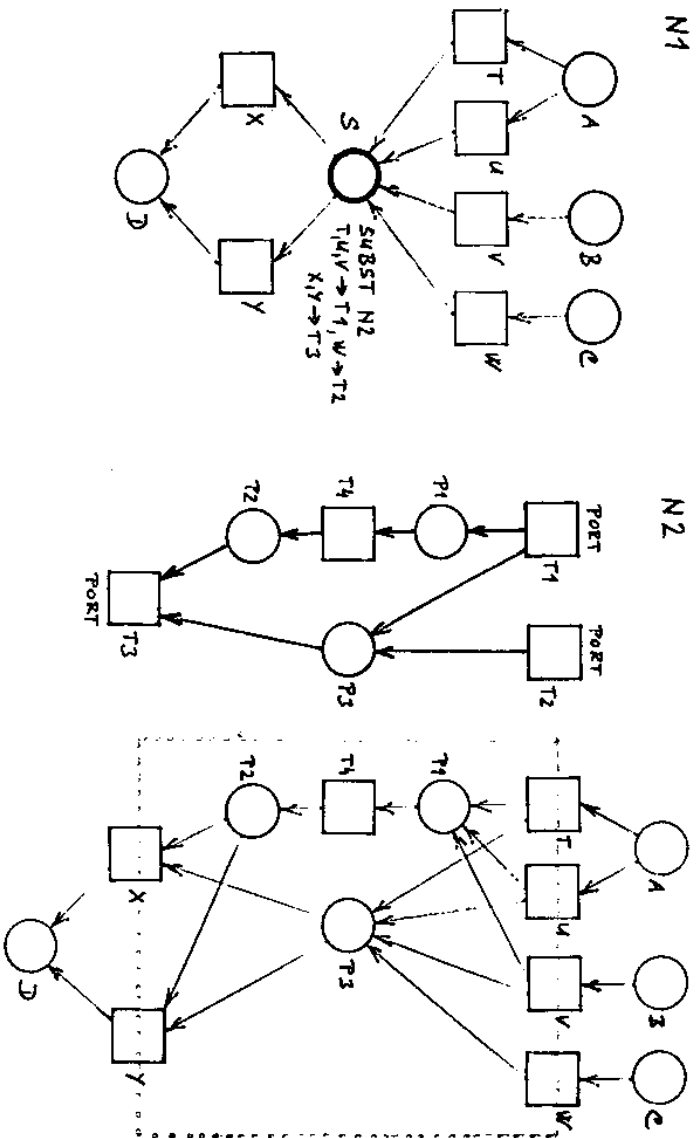


Alternativní model využívající str. podmínku

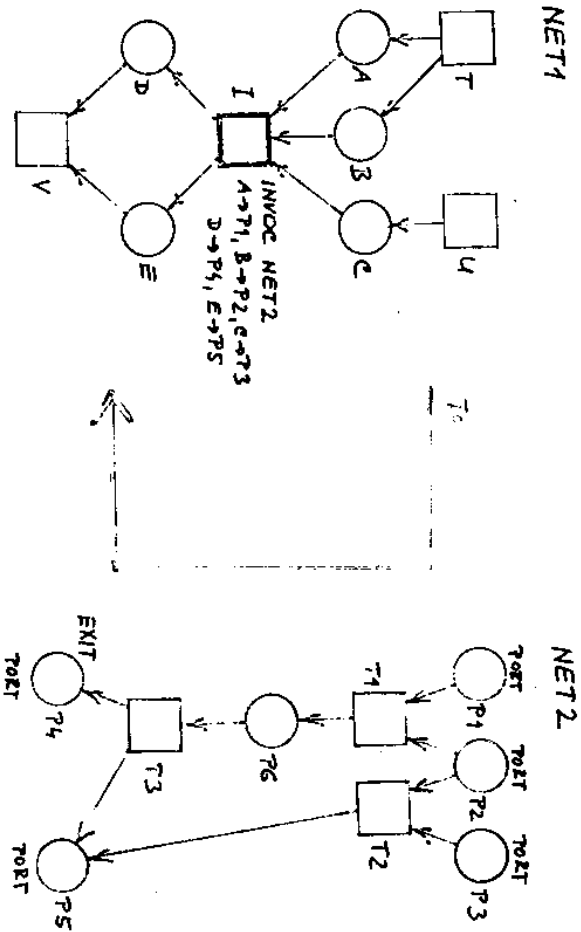
EXAMPLES OF REFINEMENTS AND NON-REFINEMENTS



SUBSTITUTION PLACE



INVOCATION TRANSITION



FUSION SET

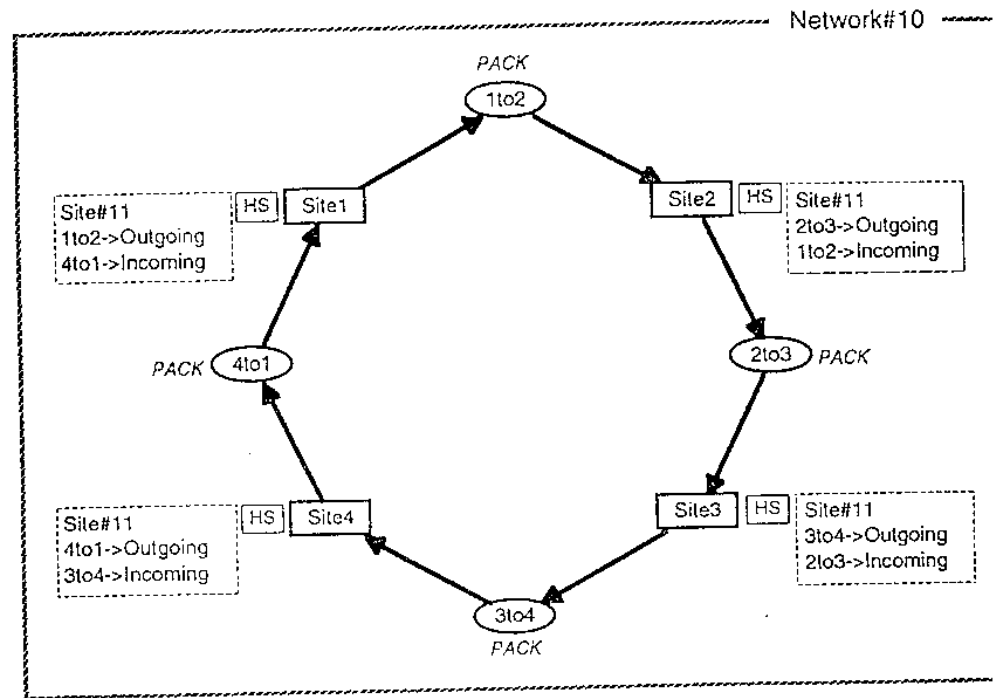
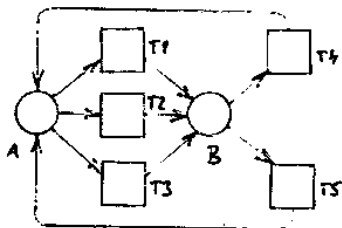
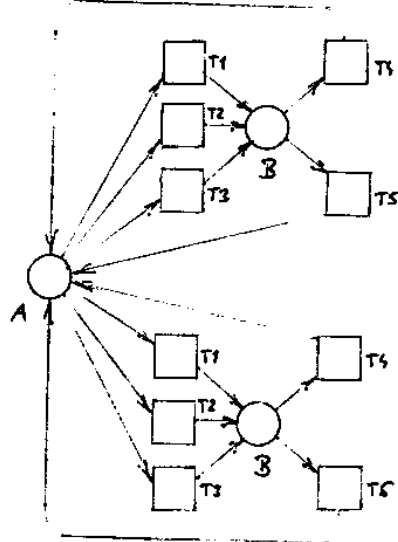
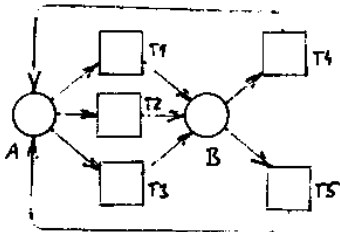
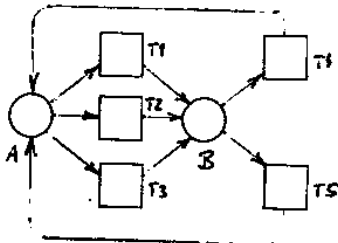
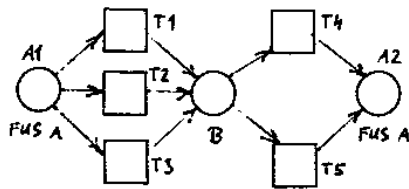


Fig. 3.1. Network#10 describes a ring network with four different sites

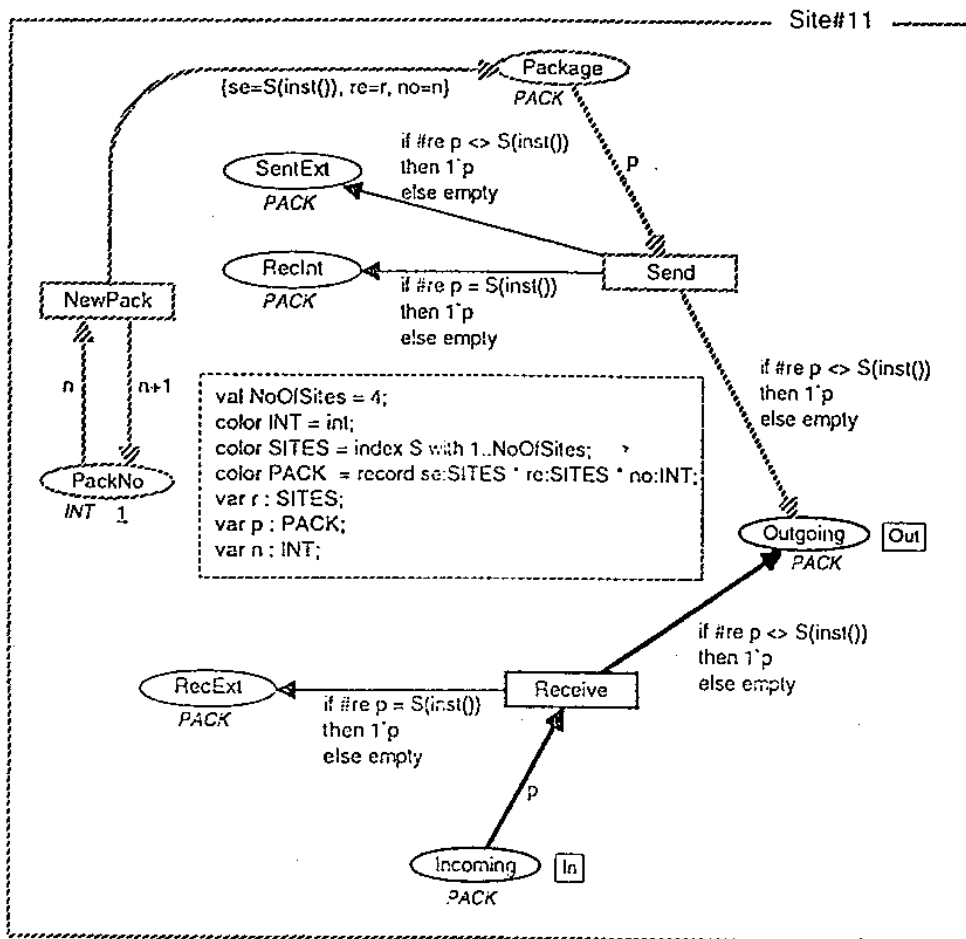


Fig. 3.2. Site#11 describes an individual site of the ring network

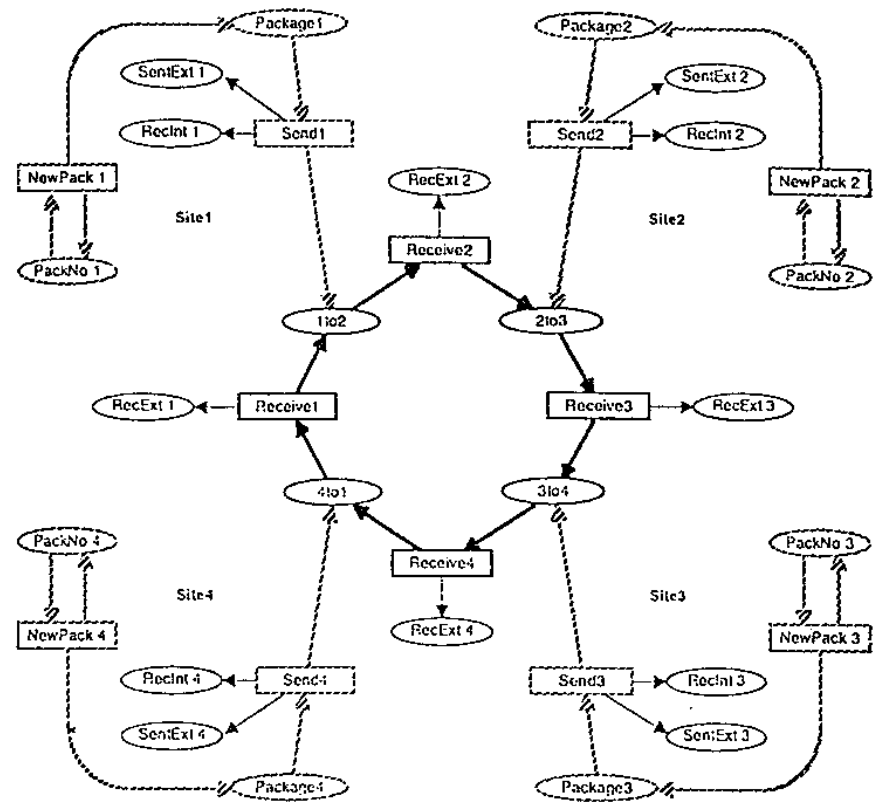


Fig. 3.3. Non-hierarchical CP-net with the same behaviour as the hierarchical CP-net that contains the pages *NetWork#10* and *Site#11*

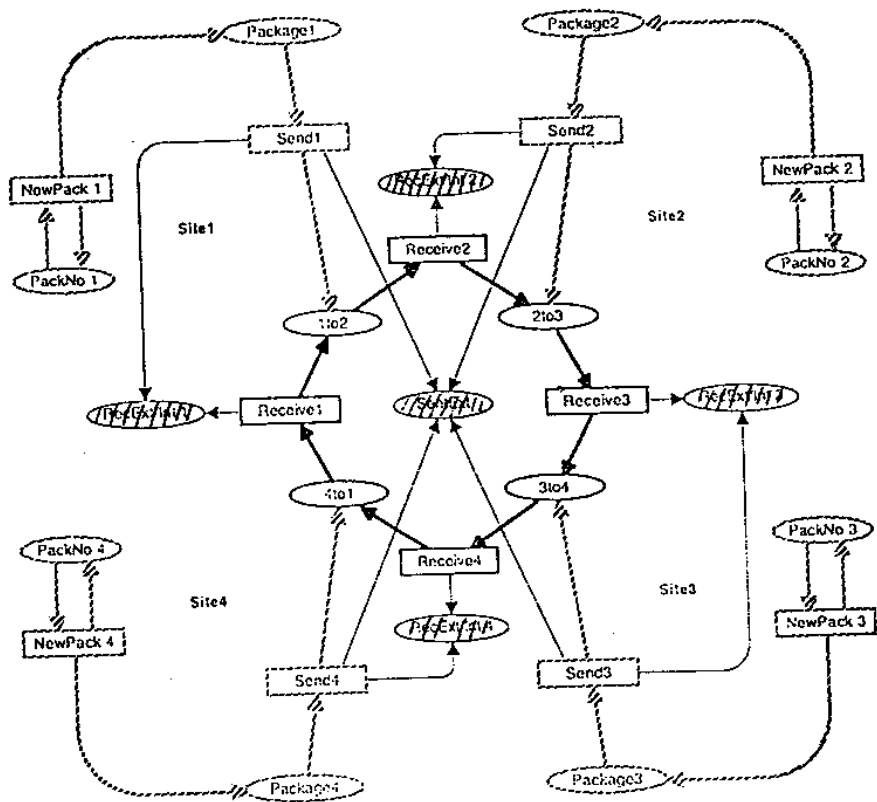


Fig. 3.5. Non-hierarchical equivalent of a hierarchical CP-net with two fusion sets

- instance fusion sets
- page fusion sets